



ГОСУДАРСТВЕННЫЙ СТАНДАРТ
СОЮЗА ССР

ГОСУДАРСТВЕННАЯ СИСТЕМА ОБЕСПЕЧЕНИЯ
ЕДИНСТВА ИЗМЕРЕНИЙ

МЕТОДИКА ВЫПОЛНЕНИЯ ИЗМЕРЕНИЙ
ОТНОСИТЕЛЬНОЙ ДИЭЛЕКТРИЧЕСКОЙ
ПРОНИЦАЕМОСТИ И ТАНГЕНСА УГЛА
ДИЭЛЕКТРИЧЕСКИХ ПОТЕРЬ ТВЕРДЫХ
ДИЭЛЕКТРИКОВ ИЗ ТОНКОЛИСТОВЫХ
МАТЕРИАЛОВ В ДИАПАЗОНЕ
ЧАСТОТ от 9 до 10 ГГц

ГОСТ 8.015-72

Издание официальное

Цена 47 коп.

ГОСУДАРСТВЕННЫЙ КОМИТЕТ СТАНДАРТОВ
СОВЕТА МИНИСТРОВ СССР
Москва

ГОСУДАРСТВЕННЫЙ СТАНДАРТ
СОЮЗА ССР

ГОСУДАРСТВЕННАЯ СИСТЕМА ОБЕСПЕЧЕНИЯ
ЕДИНСТВА ИЗМЕРЕНИЙ

МЕТОДИКА ВЫПОЛНЕНИЯ ИЗМЕРЕНИЙ
ОТНОСИТЕЛЬНОЙ ДИЭЛЕКТРИЧЕСКОЙ
ПРОНИЦАЕМОСТИ И ТАНГЕНСА УГЛА
ДИЭЛЕКТРИЧЕСКИХ ПОТЕРЬ ТВЕРДЫХ
ДИЭЛЕКТРИКОВ ИЗ ТОНКОЛИСТОВЫХ
МАТЕРИАЛОВ В ДИАПАЗОНЕ
ЧАСТОТ от 9 до 10 ГГц

ГОСТ 8.015-72

Издание официальное

МОСКВА 1972

РАЗРАБОТАН И ВНЕСЕН Всесоюзным научно-исследовательским институтом физико-технических и радиотехнических измерений [ВНИИФТРИ]

Директор Валитов Р. А.
Руководитель темы Зальцман Е. Б.
Исполнитель Пояркова В. Е.

ПОДГОТОВЛЕН К УТВЕРЖДЕНИЮ Отделом радиоэлектроники и связи Государственного комитета стандартов Совета Министров СССР

Начальник отдела Ремизов Б. А.
Ст. инженер Манохин И. В.

Всесоюзным научно-исследовательским институтом Государственного комитета стандартов Совета Министров СССР [ВНИИГК]

Зам. директора Кипаренко В. И.
Руководитель лаборатории Булатов С. Б.
Ст. научный сотрудник Сафаров Г. А.

УТВЕРЖДЕН Государственным комитетом стандартов Совета Министров СССР 12 мая 1972 г. [протокол № 60]

Председатель отраслевой научно-технической комиссии зам. председателя Госстандарта СССР Ницифоренко А. М.
Члены комиссии: Сыч А. М., Алмазов И. А., Плин Г. С., Потемкин Л. В., Ремизов Б. А., Романов А. Д., Самойлов В. А., Суворов М. Н., Халап И. А.

ВВЕДЕН В ДЕЙСТВИЕ Постановлением Государственного комитета стандартов Совета Министров СССР от 28 июня 1972 г. № 1308

**ГОСУДАРСТВЕННАЯ СИСТЕМА ОБЕСПЕЧЕНИЯ
ЕДИНСТВА ИЗМЕРЕНИЙ**

Методика выполнения измерений относительной
диэлектрической проницаемости и тангенса угла
диэлектрических потерь твердых диэлектриков
из тонколистовых материалов в диапазоне
частот от 9 до 10 ГГц

The state system for ensuring the uniformity
of measurements. Method of Measurements of Relative
Dielectric Permittivity and Tangent of Dielectric
Dissipation Angle of Solid Dielectrics Made of Thin
Leaved Materials in the Frequency Band from
9 to 10 GHz

ГОСТ
8.015—72

Постановлением Государственного комитета стандартов Совета Министров ССР
от 28/VI 1972 г. № 1398 срок введения установлен

с 1 июля 1973 г.

Настоящий стандарт распространяется на тонколистовые твердые диэлектрические материалы толщиной от 0,5 до 2,5 мм с относительной диэлектрической проницаемостью ϵ от 1,1 до 20 и тангенсом угла диэлектрических потерь $\operatorname{tg}\delta$ от 0,0001 до 0,01 и устанавливает резонансный метод определения ϵ и $\operatorname{tg}\delta$ этих материалов в диапазоне частот от 9 до 10 ГГц.

1. ОБЩИЕ УКАЗАНИЯ

1.1. Измерение относительной диэлектрической проницаемости ϵ производят методом, основанным на нахождении разности резонансных длин объемного круглого цилиндрического резонатора с электромагнитными колебаниями типа Ноя до и после помешения в резонатор образца диэлектрика в режиме холостого хода при неизменной за время измерения частоте колебаний, где S — число полуволн, укладывающихся по длине резонатора. Предпочтительный ряд $S=2, 3, 4, 5$.

1.2. Измерение тангенса угла диэлектрических потерь $\operatorname{tg}\delta$ производят методом, основанным на нахождении ослабления интенсивности электромагнитных колебаний на выходе резонатора при помещении в резонатор образца диэлектрика в режиме холостого хода.

Издание официальное

2 Эзк. 1449

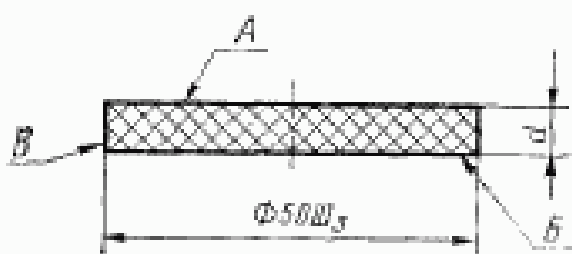
Перепечатка воспрещена

2. ОБРАЗЫ

2.1. Порядок отбора образцов, количество отобранных образцов и подготовка их к измерениям (сушка, выдержка и т. д.) должны быть оговорены в нормативно-технической документации на испытуемые диэлектрические материалы.

2.2. Образец диэлектрика не должен иметь видимых трещин, сколов, вмятин и загрязнений. Образец по внешнему виду и цвету должен быть однородным.

2.3. Образец должен иметь форму диска, неперпендикулярность поверхности *A* относительно поверхности *B* должна быть не более 0,1 мм (черт. 1).



Черт. 1

Непараллельность и неплоскость поверхностей *A* и *B* — не более указанной в табл. 1.

Таблица 1

Толщина образца, мм	Неплоскость и непараллельность, мм	
	для <i>a</i> от 1,1 до 10	для <i>a</i> от 10 до 20
От 0,5 до 1,0	±0,02	±0,01
• 1,0 • 2,0	±0,03	±0,02
• 2,0 • 2,5	±0,04	±0,03

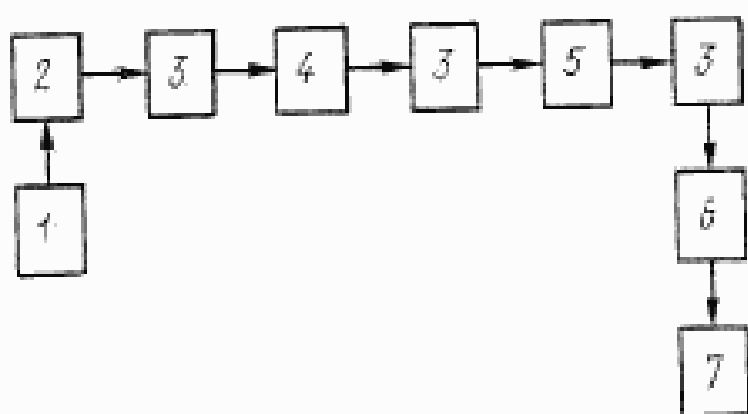
П р и м е ч а н и е. Для измерения можно использовать также и полуволновые образцы диэлектриков, изготовленные в соответствии с разд. 2 ГОСТ 12723—67.

2.4. Толщину образца измеряют согласно разд. 2 ГОСТ 12723—67.

3. СРЕДСТВА ИЗМЕРЕНИЙ

3.1. Измерения производят на установке, блок-схема которой показана на черт. 2. Основные технические характеристики приборов, входящих в установку, указаны в приложении 1.

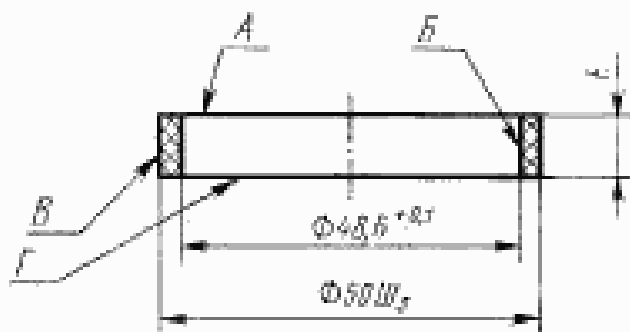
Предпочтительная частота при измерениях составляет 9,365 ГГц.



1—стабилизатор напряжения витющей сети; 2—генератор СВЧ; 3—ферритовый вентиль или аттенюатор с ослаблением не менее 10 дБ; 4—трансдукционный аттенюатор; 5—измерительный объемный резонатор; 6—детекторная головка; 7—индикатор выхода.

Черт. 2

3.2. Для размещения образца в резонаторе в режиме холостого хода можно использовать кольцевые тонкостенные четвертьволновые подставки из полистирола; неперпендикулярность поверхности *A* относительно поверхности *B* должна быть не более 0,05 мм, несоосность поверхности *B* и поверхности *C* — не более 0,02 мм; непараллельность поверхностей *A* и *C* — не более 0,02 мм (черт. 3).



Черт. 3

Высоту кольца *h* для любой из выбранных частот определяют по формуле

$$h = \lambda_w / 4 - 0,02 \text{ мм}, \quad (1)$$

где λ_w — длина волны в незаполненном резонаторе, измеряемая по п. 4.2, мм.

Для предпочтительной частоты 9,365 ГГц $h = 12,77$ мм.

3.3. Правильность изготовления кольцевой подставки проверяют следующим образом: из диэлектрического материала с ма-

лыми потерями (кварцевое оптическое стекло, полистирол) изготавливают в соответствии с требованиями разд. 2 ГОСТ 12723—67 два образца четвертьволновой толщины b , рассчитываемой по формуле

$$b = \frac{\lambda_{\text{кр}}}{4 \cdot \sqrt{\epsilon + (\lambda_{\text{кр}}/\lambda_{\text{в}})^2 \cdot (\epsilon - 1)}}, \quad (2)$$

где $\lambda_{\text{кр}} = 1,640 \cdot r$ — критическая длина волны, мм;
 r — радиус резонатора, мм.

Для частоты 9,365 ГГц значения четвертьволновой толщины b приведены в табл. 2.

Таблица 2

Материал	ϵ	b , мм
Стекло кварцевое оптическое по ГОСТ 15130—69	От 3,80 до 3,82	4,48
Полистирол по ГОСТ 9440—60	, 2,53 , 2,55	5,75

На сложенных вместе двух образцах производят измерение значения ϵ по ГОСТ 12723—67. Измеренное таким образом значение ϵ_2 должно находиться в пределах, указанных в табл. 2. Затем производят измерение значения ϵ_1 одного (любого) образца четвертьволновой толщины в соответствии с разделами 5 и 6 настоящего стандарта.

Если измеренное таким образом значение ϵ_1 отличается от значения ϵ_2 менее, чем на $\pm 1\%$, то кольцевая подставка считается пригодной для измерения на выбранной частоте. Если значение ϵ_1 отличается от значения ϵ_2 более, чем на $\pm 1\%$, то следует или увеличить значение частоты, если ϵ_1 больше ϵ_2 , или уменьшить значение частоты (или высоты подставки), если ϵ_1 меньше ϵ_2 . Эти процедуры повторяют до тех пор, пока разница между ϵ_1 и ϵ_2 станет менее $\pm 1\%$.

4. ПОДГОТОВКА К ИЗМЕРЕНИЮ

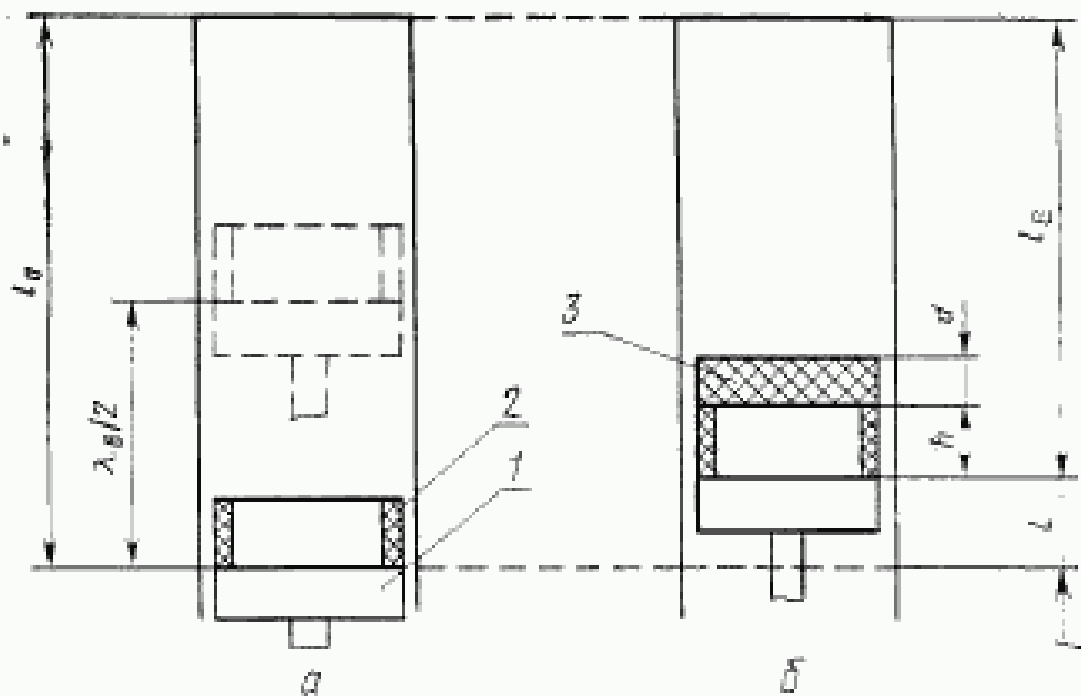
4.1. Генератор СВЧ настраивают на выбранную частоту и измеряют длину волны $\lambda_{\text{в}}$ в незаполненном резонаторе. Измерения производят в следующем порядке:

а) перемещением поршня резонатора настраивают его в резонанс, регулируют с помощью аттенюатора (черт. 2) значение резонансного сигнала так, чтобы оно составляло более половины

шкалы индикатора, и по шкале микрометрической головки поршня производят отсчет с погрешностью не более 0,01 мм;

б) перемещают поршень резонатора до получения следующей настройки резонатора в резонанс и производят второй отсчет (черт. 4а);

в) определяют длину волны λ_0 как удвоенную разность отсчетов двух соседних резонансов.



1—поршень резонатора; 2—кольцевая подставка; 3—образец диэлектрика; l_0 —резонансная длина резонатора без образца диэлектрика; l_B —резонансная длина резонатора с образцом диэлектрика; $\lambda_0/2$ —длина полуволны в резонаторе; d —смещение резонанса; h —высота подставки.

Черт. 4

В дальнейшем полученные два значения отсчетов принимают за опорные и по ним подстранивают частоту генератора СВЧ.

При работе на предпочтительной частоте 9,365 ГГц длина волны λ_0 составляет 51,19 мм.

4.2. На поршень резонатора помещают кольцевую подставку, настраивают резонатор в резонанс (при максимально возможном числе полуволни S в резонаторе) и по шкале микрометрической головки поршня производят отсчет резонансной длины l_0 резонатора с кольцевой подставкой с погрешностью не более 0,01 мм.

4.3. При настроенном в резонанс резонаторе с кольцевой подставкой устанавливают с помощью аттенюатора значение резонансного сигнала на шкале индикатора, равное целому числу делений и составляющее более половины длины шкалы, фиксируют это значение и по шкале аттенюатора отсчитывают ослабление N_0 с точностью до 0,1 дБ.

5. ПРОВЕДЕНИЕ ИЗМЕРЕНИЙ

5.1. При проведении измерений должны соблюдаться следующие условия:

Окружающая температура, °С 20 ± 5
 Относительная влажность, % 65 ± 15
 Атмосферное давление, Н/м² (мм рт. ст.) 100000 ± 4000 (750 ± 33)

5.2. Измерение диэлектрической проницаемости ϵ следует производить в следующем порядке:

а) образец диэлектрика помещают в резонатор на кольцевую подставку, перемещением поршня резонатора настраивают его в резонанс (черт. 4б) и по шкале микрометрической головки поршня производят отсчет резонансной длины резонатора l_0 , с точностью до 0,01 мм, производят шесть таких измерений (по три измерения на каждую сторону образца с поворотом образца вокруг оси после каждого измерения примерно на 120°) и вычисляют среднее арифметическое;

б) вычисляют разность резонансных длин L

$$L = l_0 - l_e, \quad (3)$$

где l_0 — отсчет резонансной длины резонатора с кольцевой подставкой без образца диэлектрика, мм;

l_e — отсчет резонансной длины резонатора с образцом диэлектрика в режиме холостого хода (на подставке), мм;

в) расчет ϵ производят по формуле (10).

5.3. Измерение тангенса угла диэлектрических потерь $\operatorname{tg}\delta$ следует производить в следующем порядке:

а) при резонаторе, настроенном в резонанс, с образцом диэлектрика на подставке уменьшают ослабление, введенное аттенюатором, до тех пор, пока показание индикатора не станет таким же, как и до помещения образца диэлектрика в резонатор. При работе с прибором Ш2—1 (Е9—6) под показанием индикатора следует понимать сходимость вершин двух изображений резонансной кривой на экране индикаторного блока (черт. 5);

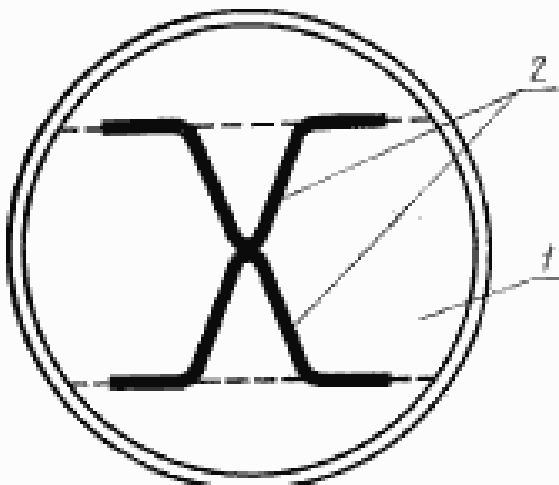
б) производят шесть измерений значений ослабления по шкале аттенюатора N_e с точностью до 0,1 дБ;

в) вычисляют вносимое ослабление N по формуле

$$N = N_0 - N_e, \quad (4)$$

где N_0 — ослабление, введенное с помощью аттенюатора до помещения образца диэлектрика в резонатор, дБ;

N_e — ослабление, введенное с помощью аттенюатора после помещения образца диэлектрика в резонатор, дБ;



1—экран индикаторного блока; 2—изображение резонансной кривой.

Черт. 5

г) расчет $\operatorname{tg}\delta$ производят по формуле (11а).

Примечания:

1. Если N менее 3 дБ, то показания индикатора можно измерять непосредственно при настроенном в резонанс резонаторе без образца α_0 , и с исследуемым образцом диэлектрика α_1 . Аттенюатор при этом может быть исключен из блок-схемы. Расчет $\operatorname{tg}\delta$ производят по формуле (11б).

2. При работе с прибором Ш2—1 (Е9—6) вместо измерения вносимого ослабления можно измерять отношение значений ширины резонансной кривой, выраженных в единицах частоты, до и после помешания образца в резонатор. Аттенюатор может быть исключен из блок-схемы. Расчет $\operatorname{tg}\delta$ производят по формуле (11в).

6. ОБРАБОТКА РЕЗУЛЬТАТОВ ИЗМЕРЕНИЙ

6.1. Для определения относительной диэлектрической проницаемости необходимо вычислить значения

$\lambda_{\text{кр}}$ — критическая длина волны, равная $1,640 \cdot r$, мм;

λ — длина волны в свободном пространстве, рассчитываемая по формуле

$$\lambda = \frac{\lambda_p}{\sqrt{1 + (\lambda_p/\lambda_{\text{кр}})^2}}, \quad (5)$$

или, если значение частоты генератора f измерено с погрешностью не более 10^{-4} , по формуле

$$\lambda = C/f, \quad (6)$$

где C — скорость света, равная $2,99672 \cdot 10^{11}$ мм/с;

λ_i — длина волны в диэлектрике, рассчитываемая по формуле

$$\lambda_i = 2\pi d/x, \quad (7)$$

где x — величина, выраженная в радианах, определяемая из уравнения

$$\frac{\operatorname{ctg} x}{x} = \frac{L+d}{d} \cdot \frac{\operatorname{ctg} x^*}{x^*}. \quad (8)$$

В этом уравнении d — толщина образца диэлектрика, мм;

$$x^* = \frac{2\pi}{\lambda_s} (L + d). \quad (9)$$

Значение $\operatorname{ctgx}^*/x^*$ находят из таблиц функции ctgx/x приложения 4, принимая x^* за аргумент. Значение x находят из этих же таблиц, принимая за аргумент ctgx/x .

Относительная диэлектрическая проницаемость определяется с точностью до трех значащих цифр по формуле

$$\epsilon = (\lambda/\lambda_{\text{ср}})^2 + (\lambda/\lambda_i)^2. \quad (10)$$

Если измерения производят на предпочтительной частоте 9,365 ГГц и погрешность установки частоты не превышает $\pm 0,003$ ГГц, то значение ϵ находят по таблице приложения 3, применяя линейное интерполирование. Примеры расчета ϵ приведены в приложении 2.

Относительная погрешность измерения диэлектрической проницаемости $\Delta\epsilon/\epsilon$ в процентах при соблюдении требований настоящего стандарта не должна превышать $\pm (1+0,5 \cdot V\epsilon)$.

6.2. Тангенс угла диэлектрических потерь $\operatorname{tg}\delta$ с точностью до двух значащих цифр вычисляют по одной из трех формул:

$$\operatorname{tg} \delta = A \cdot (10^{N/20} - \eta), \quad (11a)$$

$$\operatorname{tg} \delta = A \cdot [(z_0/z_i)^{1/2} - \eta], \quad (11b)$$

$$\operatorname{tg} \delta = A(M \cdot \frac{\Delta f_i}{\Delta f_0} - \eta), \quad (11c)$$

где A — коэффициент, определяемый по формуле

$$A = B/Q_0, \quad (12)$$

где

$$B = \frac{\Phi(x)}{\epsilon} \cdot \frac{S(\lambda_{\text{ср}})}{d}, \quad (13)$$

$$\Phi(x) = (n^2 + \operatorname{ctg}^2 x) / \left(1 + \operatorname{ctg}^2 x + \frac{\operatorname{ctg} x}{x} \right), \quad (14)$$

значение ctgx находят как произведение ctgx/x на x , найденных из таблиц приложения 4,

$$n^2 = (\lambda_0/\lambda_i)^2, \quad (15)$$

- Q_0 — нагруженная добротность резонатора без образца;
 $10^{n/20}$ — значение, определяемое с точностью до трех значащих цифр по таблицам десятичных логарифмов или логарифмической линейке;
 a_0 — показание индикатора при резонансе без образца, дел. шкалы;
 a_1 — показание индикатора при резонансе с образцом, дел. шкалы;
 Δf_0 — ширина резонансной кривой без образца (на половинном уровне по мощности);
 Δf_1 — ширина резонансной кривой с образцом (на половинном уровне по мощности);
 M — поправочный множитель, определяемый с точностью до двух значащих цифр по формуле

$$M = 1 - \frac{1}{2S} \left(\frac{\pi^2 - 1}{\pi^2 + \operatorname{ctg}^2 x} + \frac{4 \cdot L}{\lambda_a} \right); \quad (16)$$

η — отношение электромагнитных потерь в стенках резонатора с образцом диэлектрика к потерям в стенках резонатора без образца, определяемое с точностью до двух значащих цифр по формуле

$$\eta = \frac{1 + P_{\text{топ}}^e / P_{\text{топ}} + P_{\text{бок}}^e / P_{\text{топ}} + \chi}{2 + P_{\text{бок}} / P_{\text{топ}} + \chi}, \quad (17)$$

где $P_{\text{топ}}^e$ — потери в торцовой стенке со стороны кольцевой подставки;

$P_{\text{топ}}$ — потери в противоположной торцовой стенке;

$P_{\text{бок}}^e$ — потери в боковой стенке резонатора с образцом диэлектрика в режиме холостого хода (на подставке);

$P_{\text{бок}}$ — потери в боковой стенке резонатора без образца диэлектрика;

χ — постоянная связь резонатора с внешним трактом.

Отношения потерь вычисляют с точностью до трех значащих цифр по формулам:

$$P_{\text{топ}}^e / P_{\text{топ}} = \frac{1 + \operatorname{ctg}^2 x}{\pi^2 + \operatorname{ctg}^2 x}; \quad (18)$$

$$P_{\text{бок}} / P_{\text{топ}} = (S \cdot \lambda_a / 2 \cdot r) \cdot (\lambda_a / \lambda_{\text{пп}})^2; \quad (19)$$

$$P_{\text{бок}}^e / P_{\text{топ}} = (l_s / r) \cdot (\lambda_a / \lambda_{\text{пп}})^2 \cdot (1 - \chi); \quad (20)$$

$$\text{где } \chi = \frac{\pi^2 - 1}{\pi^2 + \operatorname{ctg}^2 x} \cdot \frac{\lambda_a}{4 \cdot l_s} \left[1 + \frac{4 \cdot d}{\lambda_a} \left(1 + \frac{\operatorname{ctg} x}{x} \right) \right]; \quad (21)$$

$$l_s = (S \cdot \lambda_a / 2) - L. \quad (22)$$

Если измерения производят на частоте 9,365 ГГц и $S=3$, то значения B , M и η находят по табл. 2—4 приложения 3. Примеры расчета $\operatorname{tg}\delta$ приведены в приложении 2.

Абсолютная погрешность измерения тангенса угла диэлектрических потерь $\Delta\operatorname{tg}\delta$ при соблюдении требований настоящего стандарта не должна превышать $\pm(0,3 \cdot \operatorname{tg}\delta + 0,0001)$.

П р и м е ч а н и я:

1. Радиус резонатора r , нагруженная добротность Q_0 и постоянная связи χ должны быть указаны в паспорте на резонатор.
2. При вычислении $\operatorname{tg}\delta$ в первом приближении можно принять M и η равными единице.
3. При измерениях $\operatorname{tg}\delta > 0,001$ потери на связь можно не учитывать, т. е. при расчетах принимать $\chi = 0$.

ПРИЛОЖЕНИЕ I

ОБРАЗЦОВЫЕ И ВСПОМОГАТЕЛЬНЫЕ СРЕДСТВА ИЗМЕРЕНИЙ

Наименование средства измерений	Технические характеристики, типы приборов										
1. Стабилизатор сетевого напряжения 2. Генератор СВЧ	По ГОСТ 14696—69 и ГОСТ 14305—69										
3. Ферритовый вентиль или аттенюатор	Мощность генератора не менее 10 мВт, нестабильность мощности (выхода) за 10 мин не более 10^{-4} . Г4—32А, Г4—56 и генераторный блок от Ш2—1 (Е9—6) КСВН вентиля или аттенюатора — не более 1,1, прямое ослабление вентиля — не более 0,5 дБ, обратное — не менее 20 дБ. Э8—24, ЗВВС—100Б, Д5—21										
4. Измерительный объемный резонатор	Тип колебаний — Н ₀₁₂ , диаметр резонатора — 50 мм, погрешность микровинта — не более $\pm 0,01$ мм, невоспроизводимость разъема — не более $\pm 0,01$ мм, добротность Q_0 в зависимости от числа полуволн S — не менее указанной в таблице.										
	<table border="1"> <thead> <tr> <th>S</th><th>2</th><th>3</th><th>4</th><th>5</th></tr> </thead> <tbody> <tr> <td>Q_0</td><td>15000</td><td>20000</td><td>25000</td><td>28000</td></tr> </tbody> </table>	S	2	3	4	5	Q_0	15000	20000	25000	28000
S	2	3	4	5							
Q_0	15000	20000	25000	28000							
5. Градуированный аттенюатор	В незаполненном резонаторе должен отсутствовать вырожденный тип колебания Е ₁₁₂ . ОР-2М или Р2 от Ш2—1 (Е9—6) Погрешность — не более $\pm 0,1$ дБ, КСВН — не более 1,15. Д5—32А, Д5—32А (с плавными переходами). Д5—5										
6. Детекторная головка	КСВН головки — не более 1,1. Э7—6										
7. Индикатор	По ГОСТ 1845—59. М-1211, М-244, У2—6, М-95 на 10 мкА. Индикаторный блок от Ш2—1 (Е9—6)										

Примечание. Допускается применение других средств измерений, метрологические характеристики которых не хуже, чем у средств измерений, приведенных в таблице.

ПРИЛОЖЕНИЕ 2 к ГОСТ 8.015—72
Справочное

ПРИМЕРЫ РАСЧЕТА ДИЭЛЕКТРИЧЕСКОЙ ПРОНИЦАЕМОСТИ ϵ И ТАНГЕНСА УГЛА ДИЭЛЕКТРИЧЕСКИХ ПОТЕРЬ $\tan \delta$

Примеры расчета в приведены в табл. 1.

Причины расчета в приложении к табл. 2.

Примеры расчета приведены в табл. 3.

Примеры расчета приведены в табл. 4.

Приложения расчета приведены в табл. 5.

Таблица I

Примеры расчета с

Название материала	<i>d</i>	<i>L</i>	λ_B	$\frac{2\pi}{\lambda_B}$	$L + d$, ми	χ^2 (формула 9)	$\frac{\chi^2}{\chi^2}$ (по таблице приложение 4)
	ми	ми	ми	ми	ми	ми	ми
22ХС	2,00	10,00	51,19	0,1227	12,00	1,4729	0,0667
Полистирол	1,94	5,51	51,19	0,1227	7,45	0,9141	0,8433
Стекло С38-1	1,99	7,81	51,19	0,1227	9,80	1,2025	0,3209

· Добавление

Наименование материала	$\frac{L+d}{d}$	$\frac{x}{x_0}$ (формула 8)	x (по табл. 4)	λ_1 (формула 7)	$(\lambda/\lambda_0)^2$	π (формула 10)	Значения π , заданные по табл. 1 приложение 3
22ХС	6,000	0,4001	1,1422	11,002	8,463	9,07	9,07
Полистирол	3,840	3,2383	0,5287	23,055	1,927	2,54	2,54
Стекло С38-1	4,925	1,5805	0,7206	17,352	3,401	4,01	4,01

Таблица 2

Принципы расчета В

5-3

Написа- ние материала	η^2 (Фотополи- этилен 15)	$S \cdot h_3$ $\frac{S}{h}$	$S \cdot h_4$ $\frac{S}{h} \cdot d$	$c_{\text{ПВХ}}$	$\frac{c}{d}$	$c_{\text{ПВХ}}$	$c_{\text{ПВХ}}$	$c_{\text{ПВХ}} + c_{\text{ПВХ}}$	$\frac{c_{\text{ПВХ}}}{c_{\text{ПВХ}} + c_{\text{ПВХ}}}$	$\frac{\Phi(x)}{x}$	$\frac{\Phi(x)}{x}$
ПВХ	21,543	76,788	38,394	0,4020	0,4585	0,210	21,810	13,530	1,495	57,4	57,4
Полистирол	4,930	76,788	39,581	3,3983	3,7121	2,333	7,851	1,097	0,432	17,1	17,1
Стекло С84-1	8,704	76,788	39,587	1,5805	1,1389	1,297	10,001	2,579	0,643	24,9	24,9

Таблица 3

Примеры расчета M

$$S=3; \lambda_a=51,19 \text{ мм}; \frac{1}{2-S} = 0,1667$$

Наименование материала	$\frac{4 \cdot l_a}{\lambda_a}$	$\frac{\kappa^2 - 1}{\kappa^2 + \operatorname{ctg}^2 \chi}$	M (формула 16)	Значение M , найденное по табл. 4 приложения 3
22ХС	0,7814	0,944	0,71	0,71
Полистирол	0,4306	0,500	0,84	0,84
Стекло С38-1	0,6103	0,772	0,77	0,77

Таблица 4

Примеры расчета η $\chi = 2,5$

Наименование материала	$\frac{P_{\text{топ}}^2}{P_{\text{топ}}} \quad (\text{формула 18})$	$\left(\frac{\lambda_a}{\lambda_{\text{кр}}} \right)^2$	$\frac{S \cdot \lambda_a}{2 \cdot r}$	$l_a \quad (\text{формула 22})$	$\frac{l_a}{r}$	$\frac{4 \cdot d}{\lambda_a}$	$\left(1 + \frac{\operatorname{ctg} \chi}{x} \right)$
22ХС	0,056	1,556	3,071	66,78	2,671	0,156	1,4020
Полистирол	0,500	1,559	3,071	71,27	2,851	0,152	4,2383
Стекло С38-1	0,300	1,559	3,071	68,97	2,759	0,155	2,5305

Продолжение

Наименование материала	$\frac{\kappa^2 - 1}{\kappa^2 + \operatorname{ctg}^2 \chi}$	$\frac{\lambda_a}{4 \cdot l_a}$	$\chi \quad (\text{формула 21})$	$1 - \chi$	$\frac{P_{\text{бок}}^2}{P_{\text{топ}}^2} \quad (\text{формула 20})$	$\frac{P_{\text{бок}}}{P_{\text{топ}}} \quad (\text{формула 19})$	$\eta \quad (\text{формула 17})$	Значение η , найденное по табл. 4 приложения 3
22ХС	0,944	0,192	0,221	0,779	3,224	4,788	0,73	0,73
Полистирол	0,500	0,180	0,148	0,852	3,787	4,788	0,84	0,84
Стекло С38-1	0,770	0,186	0,200	0,800	3,441	4,788	0,77	0,77

Таблица 5

Примеры расчета $\operatorname{tg}\delta$

$$S=3; Q_0=20000; 1/Q_0=0,478 \cdot 10^{-4}$$

Наименование материала	N_{dB}	$10^{N/20} \quad (\text{по табл. 4 приложения 3})$	$A \quad (\text{формула 12})$	η	$10^{N/20 - \eta}$	$\operatorname{tg}\delta \quad (\text{формула 11a})$	Значение $\operatorname{tg}\delta$, найденное по табл. 4 приложения 3
22ХС	1,60	1,20	$27,5 \cdot 10^{-3}$	0,73	0,47	$13 \cdot 10^{-4}$	$13 \cdot 10^{-4}$
Полистирол	3,12	1,43	$8,17 \cdot 10^{-4}$	0,84	0,59	$4,8 \cdot 10^{-4}$	$4,8 \cdot 10^{-4}$
Стекло С38-1	10,14	3,21	$11,9 \cdot 10^{-4}$	0,77	2,44	$29 \cdot 10^{-4}$	$29 \cdot 10^{-4}$

ПРИЛОЖЕНИЕ 3 к ГОСТ 8.015—72
Справочное

ТАБЛИЦЫ ЗНАЧЕНИЙ ϵ , B , M , η

Таблицы значений ϵ , B , M , η предназначены для ускорения расчетов в и т.д., если измерения выполнены при частоте 9,365 ГГц.

1. Табл. 1 позволяет находить значения ϵ непосредственно по измеренным значениям толщины образца d и смещения резонанса L . Таблица рассчитана для значений d в интервале от 0,5 до 2,5 мм и значений L в интервале от 0,8 до 11 мм с шагом в 0,1 мм (при этом охватывается интервал значений ϵ от 1,6 до 20).

Искомое значение ϵ находят на пересечении столбца и строки, соответствующих определенным с точностью до 0,1 мм значениям d и L . Дальнейшее уточнение ϵ с учетом сотых долей миллиметра в значениях d и L производится методом линейной интерполяции.

2. Значения коэффициента B в табл. 2 даны при значении $S=3$ с применением линейной интерполяции. Таблица рассчитана для значений d и L в тех же интервалах, что и табл. 1, но с более крупным шагом для L .

Табл. 2 можно пользоваться при любом значении S путем пересчета по формуле

$$B_S = B_3 \cdot \left(\frac{S}{3} \right), \quad (1)$$

где B_3 — значение B при значении $S=3$, определенное из табл. 2;

B_3 — значение B при другом значении S .

3. Табл. 3 позволяет находить значение поправочного множителя M при $S=3$ с применением линейной интерполяции.

При другом значении S значение M_S можно рассчитывать по значению M_3 , определенному из таблицы при $S=3$, по формуле

$$M_S = 1 - \left[(1 - M_3) \cdot \frac{S}{3} \right]. \quad (2)$$

4. Табл. 4 позволяет находить значения поправки η при $S=3$ и $\chi=2,5$ с применением линейной интерполяции.

Для другого значения S поправку η_S рассчитывают по значению η_3 по формуле

$$\eta_S = \frac{\eta_3 \cdot 9,29 + (S-3) \cdot 1,60}{9,29 + (S-3) \cdot 1,60}. \quad (3)$$

Для другого χ поправку η_{χ} рассчитывают по значению $\eta_{2,5}$ по формуле

$$\eta_{\chi} = \frac{\eta_{2,5} \cdot 9,29 + (\chi-2,5)}{9,29 + (\chi-2,5)}. \quad (4)$$

5. Пересчет ϵ , B , M , η на другую рабочую частоту, отличную от 9,365 ГГц, элементарным образом невозможен. Для других рабочих частот таблицы приложения 3 неприменимы.

Таблица 1

Разность резонансных дл., мк	Значение ϵ' при толщине образца мм					
	0,5	0,6	0,7	0,8	0,9	1,0
0,8	1,63	—	—	—	—	—
0,9	1,71	—	—	—	—	—
1,0	1,79	1,66	—	—	—	—
1,1	1,87	1,73	1,62	—	—	—
1,2	1,95	1,79	1,68	—	—	—
1,3	2,03	1,86	1,74	1,65	—	—
1,4	2,11	1,93	1,80	1,70	1,62	—
1,5	2,20	2,00	1,86	1,75	1,67	1,60
1,6	2,28	2,07	1,92	1,80	1,72	1,65
1,7	2,36	2,14	1,98	1,86	1,76	1,69
1,8	2,44	2,21	2,04	1,91	1,81	1,73
1,9	2,53	2,28	2,10	1,96	1,86	1,77
2,0	2,61	2,35	2,16	2,02	1,91	1,82
2,1	2,70	2,42	2,22	2,07	1,95	1,86
2,2	2,78	2,49	2,28	2,12	2,00	1,91
2,3	2,87	2,56	2,34	2,18	2,05	1,95
2,4	2,96	2,64	2,41	2,24	2,10	2,00
2,5	3,05	2,71	2,47	2,29	2,15	2,04
2,6	3,13	2,78	2,54	2,35	2,20	2,09
2,7	3,22	2,86	2,60	2,40	2,25	2,13
2,8	3,31	2,94	2,67	2,46	2,30	2,18
2,9	3,41	3,01	2,73	2,52	2,36	2,23
3,0	3,50	3,09	2,80	2,58	2,41	2,27
3,1	3,59	3,17	2,87	2,64	2,46	2,32
3,2	3,69	3,25	2,93	2,70	2,52	2,37
3,3	3,73	3,33	3,00	2,76	2,57	2,42
3,4	3,88	3,41	3,07	2,82	2,63	2,47
3,5	3,98	3,49	3,14	2,88	2,68	2,52
3,6	4,07	3,57	3,22	2,95	2,74	2,57
3,7	4,17	3,66	3,29	3,01	2,80	2,63
3,8	4,28	3,74	3,36	3,08	2,86	2,68
3,9	4,38	3,83	3,44	3,14	2,92	2,73
4,0	4,48	3,92	3,51	3,21	2,98	2,79
4,1	4,59	4,01	3,59	3,28	3,04	2,84
4,2	4,70	4,10	3,67	3,35	3,10	2,90
4,3	4,81	4,19	3,75	3,42	3,16	2,96
4,4	4,92	4,28	3,83	3,49	3,23	3,02
4,5	5,03	4,38	3,91	3,56	3,29	3,08
4,6	5,14	4,47	4,00	3,64	3,36	3,14
4,7	5,26	4,57	4,08	3,71	3,43	3,20
4,8	5,38	4,67	4,17	3,79	3,50	3,26
4,9	5,50	4,77	4,26	3,87	3,57	3,33
5,0	5,62	4,88	4,35	3,95	3,64	3,39
5,1	5,75	4,98	4,44	4,03	3,71	3,46
5,2	5,88	5,09	4,53	4,11	3,79	3,53
5,3	6,01	5,20	4,63	4,20	3,86	3,60
5,4	6,14	5,31	4,72	4,28	3,94	3,67
5,5	6,28	5,43	4,82	4,37	4,02	3,74
5,6	6,41	5,55	4,93	4,46	4,10	3,81

Продолжение

Разность резонансных длек., мм	Значение ϵ' при толщине образца					
	0,5	0,6	0,7	0,8	0,9	1,0
мм						
5,7	6,56	5,67	5,03	4,55	4,19	3,89
5,8	6,70	5,79	5,14	4,65	4,27	3,97
5,9	6,85	5,91	5,25	4,75	4,36	4,05
6,0	7,00	6,04	5,36	4,85	4,45	4,13
6,1	7,16	6,17	5,47	4,95	4,54	4,22
6,2	7,32	6,31	5,59	5,05	4,64	4,30
6,3	7,48	6,45	5,71	5,16	4,73	4,39
6,4	7,65	6,59	5,84	5,27	4,83	4,48
6,5	7,82	6,74	5,96	5,39	4,94	4,58
6,6	8,00	6,89	6,10	5,50	5,04	4,68
6,7	8,18	7,04	6,23	5,62	5,15	4,78
6,8	8,37	7,20	6,37	5,75	5,26	4,88
6,9	8,56	7,36	6,51	5,88	5,38	4,99
7,0	8,76	7,53	6,66	6,01	5,50	5,10
7,1	8,96	7,71	6,81	6,14	5,62	5,21
7,2	9,18	7,89	6,97	6,29	5,75	5,33
7,3	9,40	8,08	7,14	6,43	5,89	5,45
7,4	9,62	8,27	7,30	6,58	6,02	5,58
7,5	9,86	8,48	7,48	6,74	6,17	5,71
7,6	10,10	8,68	7,66	6,90	6,32	5,85
7,7	10,35	8,89	7,85	7,07	6,47	5,99
7,8	10,61	9,11	8,05	7,25	6,63	6,14
7,9	10,88	9,34	8,25	7,43	6,80	6,29
8,0	11,16	9,59	8,46	7,62	6,97	6,45
8,1	11,46	9,84	8,68	7,82	7,15	6,62
8,2	11,76	10,10	8,91	8,03	7,34	6,80
8,3	12,08	10,37	9,16	8,25	7,54	6,98
8,4	12,42	10,66	9,41	8,47	7,75	7,18
8,5	12,76	10,96	9,67	8,71	7,97	7,38
8,6	13,13	11,27	9,95	8,96	8,20	7,60
8,7	13,51	11,60	10,24	9,23	8,44	7,82
8,8	13,92	11,95	10,55	9,51	8,70	8,06
8,9	14,34	12,31	10,87	9,80	8,97	8,31
9,0	14,79	12,70	11,22	10,11	9,26	8,58
9,1	15,26	13,11	11,58	10,44	9,56	8,86
9,2	15,76	13,54	11,96	10,79	9,88	9,17
9,3	16,28	14,00	12,37	11,16	10,23	9,49
9,4	16,84	14,48	12,80	11,56	10,60	9,83
9,5	17,44	15,00	13,27	11,98	10,99	10,21
9,6	18,08	15,55	13,76	12,43	11,41	10,60
9,7	18,76	16,15	14,30	12,92	11,87	11,03
9,8	19,48	16,78	14,87	13,45	12,36	11,50
9,9	20,27	17,47	15,48	14,01	12,89	12,00
10,0	—	18,21	16,15	14,63	13,47	12,55
10,1	—	19,01	16,88	15,30	14,10	13,15
10,2	—	19,88	17,67	16,04	14,79	13,81
10,3	—	20,84	18,54	16,84	15,55	14,55
10,4	—	—	19,49	17,73	16,40	15,36
10,5	—	—	20,55	18,72	17,34	16,26

Продолжение

Разность резонансных длек., мм	Значение ϵ' при толщине образца					
	0,5	0,6	0,7	0,8	0,9	1,0
	мм					
10,6	—	—	—	19,82	18,39	17,29
10,7	—	—	—	21,06	19,58	18,44
10,8	—	—	—	—	20,93	19,76
10,9	—	—	—	—	—	21,29

Продолжение

Разность резонансных длек., мм	Значение ϵ' при толщине образца					
	1,0	1,1	1,2	1,3	1,4	1,5
	мм					
1,5	1,60	—	—	—	—	—
1,6	1,65	—	—	—	—	—
1,7	1,69	1,63	—	—	—	—
1,8	1,73	1,67	1,61	—	—	—
1,9	1,77	1,71	1,65	1,60	—	—
2,0	1,82	1,75	1,69	1,64	1,59	—
2,1	1,86	1,79	1,72	1,67	1,62	—
2,2	1,91	1,83	1,76	1,70	1,66	1,61
2,3	1,95	1,87	1,80	1,74	1,69	1,65
2,4	2,00	1,91	1,84	1,77	1,72	1,68
2,5	2,04	1,95	1,87	1,81	1,75	1,71
2,6	2,09	1,99	1,91	1,85	1,79	1,74
2,7	2,13	2,03	1,95	1,88	1,82	1,77
2,8	2,18	2,08	1,99	1,92	1,86	1,80
2,9	2,23	2,12	2,03	1,96	1,89	1,84
3,0	2,27	2,16	2,07	1,99	1,93	1,87
3,1	2,32	2,21	2,11	2,03	1,96	1,90
3,2	2,37	2,25	2,15	2,07	2,00	1,94
3,3	2,42	2,30	2,20	2,11	2,04	1,97
3,4	2,47	2,34	2,24	2,15	2,07	2,01
3,5	2,52	2,39	2,28	2,19	2,11	2,04
3,6	2,57	2,44	2,33	2,23	2,15	2,08
3,7	2,63	2,49	2,37	2,27	2,19	2,11
3,8	2,68	2,54	2,41	2,31	2,23	2,15
3,9	2,73	2,58	2,46	2,36	2,27	2,19
4,0	2,79	2,63	2,51	2,40	2,31	2,23
4,1	2,84	2,69	2,55	2,44	2,35	2,27
4,2	2,90	2,74	2,60	2,49	2,39	2,31
4,3	2,96	2,79	2,65	2,53	2,43	2,35
4,4	3,02	2,84	2,70	2,58	2,48	2,39
4,5	3,08	2,90	2,75	2,63	2,52	2,43
4,6	3,14	2,96	2,80	2,68	2,57	2,47
4,7	3,20	3,01	2,86	2,73	2,61	2,52
4,8	3,26	3,07	2,91	2,78	2,66	2,56
4,9	3,33	3,13	2,97	2,83	2,71	2,61
5,0	3,39	3,19	3,02	2,88	2,76	2,65

4 Зак. 1149

Продолжение

Разность изолированных длии, мм	Значение ϵ' при толщине образца					
	1,0	1,1	1,2	1,3	1,4	1,5
мм						
5,1	3,46	3,25	3,08	2,93	2,81	2,70
5,2	3,53	3,31	3,14	2,99	2,86	2,75
5,3	3,60	3,38	3,20	3,04	2,91	2,80
5,4	3,67	3,44	3,26	3,10	2,97	2,85
5,5	3,74	3,51	3,32	3,16	3,02	2,90
5,6	3,81	3,58	3,38	3,22	3,08	2,96
5,7	3,89	3,65	3,45	3,28	3,14	3,01
5,8	3,97	3,72	3,52	3,34	3,20	3,07
5,9	4,05	3,80	3,59	3,41	3,26	3,13
6,0	4,13	3,87	3,66	3,48	3,32	3,19
6,1	4,22	3,95	3,73	3,54	3,39	3,25
6,2	4,30	4,03	3,81	3,62	3,45	3,31
6,3	4,39	4,11	3,88	3,69	3,52	3,38
6,4	4,48	4,20	3,96	3,76	3,59	3,45
6,5	4,58	4,29	4,04	3,84	3,67	3,51
6,6	4,68	4,38	4,13	3,92	3,74	3,59
6,7	4,78	4,47	4,22	4,00	3,82	3,66
6,8	4,88	4,57	4,31	4,09	3,90	3,74
6,9	4,99	4,66	4,40	4,17	3,98	3,82
7,0	5,10	4,77	4,49	4,26	4,07	3,90
7,1	5,21	4,87	4,59	4,36	4,16	3,98
7,2	5,33	4,98	4,70	4,46	4,25	4,07
7,3	5,45	5,10	4,80	4,56	4,35	4,16
7,4	5,58	5,21	4,91	4,66	4,45	4,26
7,5	5,71	5,34	5,03	4,77	4,55	4,36
7,6	5,85	5,47	5,15	4,88	4,66	4,46
7,7	5,99	5,60	5,27	5,00	4,77	4,57
7,8	6,14	5,74	5,40	5,13	4,89	4,68
7,9	6,29	5,88	5,54	5,26	5,01	4,80
8,0	6,45	6,03	5,68	5,39	5,14	4,93
8,1	6,62	6,19	5,83	5,53	5,28	5,06
8,2	6,80	6,36	5,99	5,68	5,42	5,20
8,3	6,98	6,53	6,15	5,84	5,57	5,34
8,4	7,18	6,71	6,32	6,00	5,73	5,49
8,5	7,38	6,90	6,51	6,17	5,89	5,65
8,6	7,60	7,10	6,70	6,36	6,07	5,82
8,7	7,82	7,32	6,90	6,55	6,25	6,00
8,8	8,06	7,54	7,11	6,75	6,45	6,19
8,9	8,31	7,76	7,34	6,97	6,66	6,40
9,0	8,58	8,03	7,58	7,20	6,89	6,61
9,1	8,86	8,30	7,84	7,45	7,12	6,85
9,2	9,17	8,59	8,11	7,71	7,38	7,10
9,3	9,49	8,89	8,40	8,00	7,65	7,36
9,4	9,83	9,22	8,72	8,30	7,95	7,65
9,5	10,21	9,57	9,06	8,63	8,27	7,97
9,6	10,60	9,95	9,42	8,98	8,61	8,30
9,7	11,03	10,36	9,82	9,37	8,99	8,67
9,8	11,50	10,81	10,25	9,78	9,40	9,08
9,9	12,00	11,29	10,71	10,24	9,85	9,52

Продолжение

Разность резонансных данных, мм	Значение ϵ' при толщине образца					
	1,0	1,1	1,2	1,3	1,4	1,5
	мм					
10,0	12,55	11,82	11,23	10,74	10,34	10,01
10,1	13,15	12,40	11,79	11,30	10,89	10,56
10,2	13,81	13,04	12,42	11,91	11,50	11,16
10,3	14,55	13,75	13,11	12,60	12,18	11,85
10,4	15,36	14,54	13,89	13,36	12,95	12,61
10,5	16,26	15,42	14,76	14,23	13,82	13,49
10,6	17,29	16,43	15,75	15,22	14,81	14,50
10,7	18,44	17,56	16,88	16,36	15,96	15,66
10,8	19,76	18,87	18,19	17,68	17,29	17,02
10,9	21,29	20,39	19,72	19,22	18,86	18,63
11,0	—	—	21,51	21,05	20,74	20,55

Продолжение

Разность резонансных данных, мм	Значение ϵ' при толщине образца					
	1,5	1,6	1,7	1,8	1,9	2,0
	мм					
2,2	1,61	—	—	—	—	—
2,3	1,65	1,61	—	—	—	—
2,4	1,68	1,64	1,60	—	—	—
2,5	1,71	1,67	1,63	1,60	—	—
2,6	1,74	1,70	1,66	1,62	1,59	—
2,7	1,77	1,73	1,69	1,66	1,62	1,59
2,8	1,80	1,76	1,72	1,68	1,65	1,62
2,9	1,84	1,79	1,74	1,71	1,67	1,64
3,0	1,87	1,82	1,77	1,73	1,70	1,67
3,1	1,90	1,85	1,80	1,76	1,73	1,69
3,2	1,94	1,88	1,83	1,79	1,76	1,72
3,3	1,97	1,92	1,87	1,82	1,78	1,75
3,4	2,01	1,95	1,90	1,85	1,81	1,78
3,5	2,04	1,98	1,93	1,88	1,83	1,80
3,6	2,08	2,02	1,96	1,91	1,86	1,83
3,7	2,11	2,05	1,99	1,95	1,89	1,86
3,8	2,15	2,09	2,03	1,98	1,92	1,89
3,9	2,19	2,12	2,06	2,01	1,95	1,92
4,0	2,23	2,16	2,10	2,04	1,98	1,95
4,1	2,27	2,20	2,13	2,08	2,01	1,98
4,2	2,31	2,23	2,17	2,11	2,05	2,01
4,3	2,35	2,27	2,20	2,15	2,08	2,05
4,4	2,39	2,31	2,24	2,18	2,11	2,08
4,5	2,43	2,35	2,28	2,22	2,15	2,11
4,6	2,47	2,39	2,32	2,25	2,18	2,15
4,7	2,52	2,43	2,36	2,29	2,22	2,18
4,8	2,56	2,48	2,40	2,33	2,25	2,22
4,9	2,61	2,52	2,44	2,37	2,29	2,25

Продолжение

Разность изолируемых длин, мм	Значение ϵ' при толщине образца					
	1,5	1,6	1,7	1,8	1,9	2,0
	мм					
5,0	2,65	2,56	2,48	2,41	2,35	2,29
5,1	2,70	2,61	2,53	2,45	2,39	2,33
5,2	2,75	2,63	2,57	2,50	2,43	2,37
5,3	2,80	2,70	2,62	2,54	2,47	2,41
5,4	2,85	2,75	2,66	2,58	2,51	2,45
5,5	2,90	2,80	2,71	2,63	2,56	2,49
5,6	2,96	2,85	2,76	2,68	2,60	2,54
5,7	3,01	2,90	2,81	2,73	2,65	2,58
5,8	3,07	2,96	2,86	2,78	2,70	2,63
5,9	3,13	3,01	2,91	2,83	2,75	2,68
6,0	3,19	3,07	2,97	2,88	2,80	2,73
6,1	3,25	3,13	3,03	2,93	2,85	2,78
6,2	3,31	3,19	3,08	2,99	2,90	2,83
6,3	3,38	3,25	3,14	3,05	2,96	2,88
6,4	3,45	3,32	3,21	3,11	3,02	2,94
6,5	3,51	3,38	3,27	3,17	3,08	3,00
6,6	3,58	3,45	3,33	3,23	3,14	3,06
6,7	3,66	3,52	3,40	3,30	3,20	3,12
6,8	3,74	3,60	3,47	3,37	3,27	3,18
6,9	3,82	3,67	3,55	3,44	3,34	3,25
7,0	3,90	3,75	3,62	3,51	3,41	3,32
7,1	3,98	3,83	3,70	3,59	3,48	3,39
7,2	4,07	3,92	3,78	3,66	3,56	3,47
7,3	4,16	4,01	3,87	3,75	3,64	3,54
7,4	4,26	4,10	3,96	3,83	3,72	3,63
7,5	4,36	4,19	4,05	3,92	3,81	3,71
7,6	4,46	4,29	4,15	4,02	3,90	3,80
7,7	4,57	4,40	4,25	4,12	4,00	3,89
7,8	4,68	4,51	4,35	4,22	4,10	3,99
7,9	4,80	4,62	4,46	4,33	4,20	4,10
8,0	4,93	4,74	4,58	4,44	4,32	4,21
8,1	5,06	4,87	4,70	4,56	4,43	4,32
8,2	5,20	5,00	4,83	4,69	4,56	4,44
8,3	5,34	5,14	4,97	4,82	4,69	4,57
8,4	5,49	5,29	5,11	4,96	4,82	4,70
8,5	5,65	5,44	5,26	5,11	4,97	4,85
8,6	5,82	5,61	5,43	5,27	5,13	5,00
8,7	6,00	5,79	5,60	5,43	5,29	5,17
8,8	6,19	5,97	5,78	5,61	5,47	5,34
8,9	6,40	6,17	5,97	5,80	5,66	5,53
9,0	6,61	6,38	6,18	6,01	5,86	5,73
9,1	6,85	6,61	6,41	6,23	6,08	5,95
9,2	7,10	6,85	6,65	6,47	6,31	6,18
9,3	7,36	7,12	6,91	6,72	6,57	6,44
9,4	7,65	7,40	7,19	7,00	6,85	6,71
9,5	7,97	7,71	7,49	7,31	7,15	7,02
9,6	8,30	8,04	7,82	7,64	7,48	7,35
9,7	8,67	8,41	8,19	8,00	7,84	7,71
9,8	9,08	8,81	8,59	8,40	8,24	8,12

Продолжение

Разность резонансных длнн., мм	Значение ϵ' при толщине образца					
	1,5	1,6	1,7	1,8	1,9	2,0
	мм					
9,9	9,52	9,25	9,03	8,84	8,69	8,56
10,0	10,01	9,74	9,52	9,33	9,18	9,07
10,1	10,56	10,28	10,05	9,88	9,74	9,63
10,2	11,16	10,89	10,67	10,50	10,37	10,27
10,3	11,85	11,58	11,37	11,20	11,08	10,99
10,4	12,61	12,35	12,15	12,00	11,89	11,82
10,5	13,49	13,24	13,05	12,92	12,82	12,77
10,6	14,50	14,26	14,09	13,98	13,91	13,87
10,7	15,66	15,45	15,30	15,21	15,17	15,15
10,8	17,02	16,84	16,72	16,66	16,64	16,64
10,9	18,63	18,48	18,41	18,38	18,37	18,37
11,0	20,55	20,45	20,41	20,40	20,40	20,36

Продолжение

Разность резонансных длнн., мм	Значение ϵ' при толщине образца					
	2,0	2,1	2,2	2,3	2,4	2,5
	мм					
2,7	1,59	—	—	—	—	—
2,8	1,62	1,59	—	—	—	—
2,9	1,64	1,62	1,59	—	—	—
3,0	1,67	1,64	1,61	1,59	—	—
3,1	1,69	1,67	1,64	1,61	1,59	—
3,2	1,72	1,69	1,66	1,64	1,62	1,59
3,3	1,75	1,72	1,69	1,66	1,64	1,62
3,4	1,78	1,74	1,71	1,69	1,66	1,64
3,5	1,80	1,77	1,74	1,71	1,69	1,66
3,6	1,83	1,80	1,77	1,74	1,71	1,69
3,7	1,86	1,83	1,79	1,76	1,74	1,71
3,8	1,89	1,85	1,82	1,79	1,76	1,74
3,9	1,92	1,88	1,85	1,82	1,79	1,76
4,0	1,95	1,91	1,88	1,84	1,82	1,79
4,1	1,98	1,94	1,91	1,87	1,84	1,81
4,2	2,01	1,97	1,93	1,90	1,87	1,84
4,3	2,05	2,00	1,96	1,93	1,90	1,87
4,4	2,08	2,04	2,00	1,96	1,93	1,90
4,5	2,11	2,07	2,03	1,99	1,96	1,93
4,6	2,15	2,10	2,06	2,02	1,99	1,96
4,7	2,18	2,13	2,09	2,05	2,02	1,99
4,8	2,22	2,17	2,13	2,09	2,05	2,02
4,9	2,25	2,20	2,16	2,12	2,08	2,05
5,0	2,29	2,24	2,20	2,16	2,12	2,08
5,1	2,33	2,28	2,23	2,19	2,15	2,11
5,2	2,37	2,32	2,27	2,22	2,18	2,15
5,3	2,41	2,36	2,31	2,26	2,22	2,18
5,4	2,45	2,40	2,35	2,30	2,26	2,22

Продолжение

Разность резонансных длек., нм	Значение ϵ' при толщине образца					
	2,0	2,1	2,2	2,3	2,4	2,5
	мм					
5,5	2,49	2,44	2,39	2,34	2,30	2,26
5,6	2,54	2,48	2,43	2,38	2,33	2,29
5,7	2,58	2,52	2,47	2,42	2,37	2,33
5,8	2,63	2,57	2,51	2,46	2,42	2,37
5,9	2,68	2,61	2,56	2,51	2,46	2,42
6,0	2,73	2,66	2,60	2,55	2,50	2,46
6,1	2,78	2,71	2,65	2,60	2,55	2,50
6,2	2,83	2,76	2,70	2,65	2,60	2,55
6,3	2,88	2,81	2,75	2,70	2,65	2,60
6,4	2,94	2,87	2,81	2,75	2,70	2,65
6,5	3,00	2,92	2,86	2,80	2,75	2,70
6,6	3,06	2,98	2,92	2,86	2,80	2,75
6,7	3,12	3,04	2,98	2,91	2,86	2,81
6,8	3,18	3,11	3,04	2,97	2,92	2,87
6,9	3,25	3,17	3,10	3,04	2,98	2,93
7,0	3,32	3,24	3,17	3,10	3,04	2,99
7,1	3,39	3,31	3,24	3,17	3,11	3,06
7,2	3,47	3,38	3,31	3,24	3,18	3,12
7,3	3,54	3,46	3,38	3,31	3,25	3,20
7,4	3,63	3,54	3,46	3,39	3,33	3,27
7,5	3,71	3,62	3,54	3,47	3,41	3,35
7,6	3,80	3,71	3,63	3,56	3,49	3,43
7,7	3,89	3,80	3,72	3,65	3,58	3,52
7,8	3,99	3,90	3,81	3,74	3,67	3,61
7,9	4,10	4,00	3,91	3,84	3,77	3,71
8,0	4,21	4,11	4,02	3,94	3,87	3,81
8,1	4,32	4,22	4,13	4,05	3,98	3,92
8,2	4,44	4,34	4,25	4,17	4,10	4,03
8,3	4,57	4,47	4,37	4,29	4,22	4,16
8,4	4,70	4,60	4,51	4,42	4,35	4,29
8,5	4,85	4,74	4,65	4,57	4,49	4,43
8,6	5,00	4,89	4,80	4,72	4,64	4,58
8,7	5,17	5,06	4,96	4,88	4,80	4,74
8,8	5,34	5,23	5,13	5,05	4,97	4,91
8,9	5,53	5,42	5,32	5,23	5,16	5,10
9,0	5,73	5,62	5,52	5,43	5,36	5,30
9,1	5,95	5,83	5,73	5,65	5,58	5,52
9,2	6,18	6,07	5,97	5,89	5,81	5,75
9,3	6,44	6,32	6,22	6,14	6,07	6,02
9,4	6,71	6,60	6,50	6,42	6,36	6,30
9,5	7,02	6,90	6,81	6,73	6,67	6,62
9,6	7,35	7,24	7,14	7,07	7,01	6,96
9,7	7,71	7,60	7,52	7,45	7,39	7,35
9,8	8,12	8,01	7,93	7,86	7,81	7,78
9,9	8,56	8,47	8,39	8,33	8,29	8,26
10,0	9,07	8,97	8,90	8,85	8,82	8,80
10,1	9,63	9,55	9,48	9,44	9,42	9,41
10,2	10,27	10,19	10,14	10,11	10,10	10,09
10,3	10,99	10,93	10,89	10,87	10,87	10,86

Продолжение

Разность резонансных длени, мк	Значение ϵ' при толщине образца					
	2,0	2,1	2,2	2,3	2,4	2,5
	мк					
10,4	11,82	11,77	11,75	11,74	11,74	11,74
10,5	12,77	12,74	12,73	12,73	12,73	12,71
10,6	13,87	13,86	13,86	13,86	13,84	13,80
10,7	15,15	15,15	15,15	15,13	15,08	15,00
10,8	16,64	16,64	16,61	16,55	16,45	16,28
10,9	18,37	18,34	18,26	18,12	17,91	17,63
11,0	20,36	20,26	20,08	19,81	19,45	19,01
11,1	—	—	—	21,57	21,02	20,39

Таблица 2

Разность резонансных длени, мк	Значение δ при толщине образца					
	0,5	0,6	0,7	0,8	0,9	1,0
мк						
1,0	44,1	39,7	36,2	33,2	30,7	—
1,5	36,8	33,8	31,3	29,2	27,3	25,7
2,0	31,9	29,8	27,9	26,2	24,8	23,5
2,5	28,5	26,9	25,4	24,1	23,0	21,9
3,0	26,1	24,8	23,6	22,6	21,6	20,8
3,5	24,3	23,3	22,3	21,5	20,7	20,0
4,0	23,0	22,2	21,4	20,7	20,1	19,5
4,5	22,2	21,5	20,8	20,2	19,7	19,2
5,0	21,7	21,1	20,6	20,1	19,6	19,2
5,5	21,5	21,0	20,5	20,1	19,7	19,4
6,0	21,6	21,2	20,8	20,4	20,1	19,8
6,5	22,0	21,6	21,3	21,1	20,8	20,6
7,0	22,7	22,4	22,2	22,0	21,8	21,6
7,5	23,8	23,6	23,4	23,3	23,2	23,1
8,0	23,3	25,2	25,1	25,1	25,1	25,1
8,5	27,5	27,5	27,5	27,6	27,7	27,8
9,0	30,5	30,6	30,8	31,1	31,3	31,6
9,5	34,7	36,1	35,5	35,9	36,4	36,9
10,0	40,8	41,6	42,3	43,2	44,0	45,0
10,2	—	46,1	46,0	47,1	48,2	49,4
10,4	—	48,2	50,5	51,9	53,3	54,8
10,6	—	—	56,2	57,8	59,7	61,7
10,8	—	—	—	65,6	67,8	70,4
11,0	—	—	—	—	—	82,0

Продолжение

Разность разомкнутых длии, мм	Значение В при толщине образца					
	1,0	1,1	1,2	1,3	1,4	1,5
мм						
1,5	25,7	24,2	23,0	—	—	—
2,0	23,5	22,4	21,4	20,4	19,6	18,9
2,5	21,9	21,0	20,2	19,4	18,7	18,1
3,0	20,8	20,0	19,3	18,7	18,1	17,5
3,5	20,0	19,3	18,7	18,2	17,7	17,2
4,0	19,5	18,9	18,4	17,9	17,5	17,1
4,5	19,2	18,7	18,3	17,9	17,5	17,2
5,0	19,2	18,8	18,4	18,1	17,8	17,5
5,5	19,4	19,1	18,7	18,5	18,2	18,0
6,0	19,8	19,6	19,3	19,1	18,9	18,7
6,5	20,6	20,4	20,2	20,0	19,9	19,7
7,0	21,6	21,5	21,4	21,3	21,2	21,1
7,5	23,1	23,0	23,0	22,9	22,9	22,9
8,0	25,1	25,1	25,2	25,2	25,3	25,4
8,5	27,8	28,0	28,1	28,3	28,5	28,7
9,0	31,6	31,9	32,2	32,6	33,0	33,4
9,5	36,9	37,5	38,2	38,7	39,4	40,1
10,0	45,0	46,0	47,1	48,2	49,4	50,6
10,2	49,4	50,7	52,0	53,4	54,9	56,5
10,4	54,8	56,5	58,2	60,0	61,9	63,8
10,6	61,7	63,7	66,0	68,3	70,7	73,2
10,8	70,4	73,2	76,1	79,0	82,1	85,1
11,0	82,0	85,4	89,5	93,3	97,0	100,5

Продолжение

Разность разомкнутых длии, мм	Значение В при толщине образца					
	1,5	1,6	1,7	1,8	1,9	2,0
мм						
2,0	18,9	18,2	17,5	—	—	—
2,5	18,1	17,5	16,9	16,4	16,0	15,6
3,0	17,5	17,0	16,6	16,1	15,7	15,4
3,5	17,2	16,8	16,4	16,0	15,7	15,4
4,0	17,1	16,7	16,4	16,1	15,8	15,5
4,5	17,2	16,9	16,6	16,3	16,1	15,8
5,0	17,5	17,2	17,0	16,7	16,5	16,3
5,5	18,0	17,7	17,5	17,4	17,2	17,0
6,0	18,7	18,5	18,4	18,2	18,1	18,0
6,5	19,7	19,6	19,5	19,4	19,3	19,3
7,0	21,1	21,0	21,0	21,0	20,9	20,9
7,5	22,9	22,9	23,0	23,0	23,1	23,1
8,0	25,4	25,5	25,6	25,6	25,9	26,1
8,5	28,7	29,0	29,2	29,5	29,8	30,1
9,0	33,4	33,8	34,3	34,8	35,3	35,8
9,5	40,1	40,9	41,7	42,5	43,4	44,3
10,0	50,6	51,9	53,3	54,7	56,1	57,5
10,2	56,5	58,1	59,8	61,5	63,2	64,9
10,4	63,8	65,9	67,9	69,9	71,9	73,7
10,6	73,2	75,6	78,1	80,3	82,4	84,0
10,8	85,1	88,0	90,6	92,8	94,3	94,8
11,0	100,5	103,4	106,3	106,0	105,2	102,6

Продолжение

Разность резонансных длнв., мк	Значение В при волновом образце					
	2,0	2,1	2,2	2,3	2,4	2,5
мк.						
2,5	15,6	15,2	14,8	—	—	—
3,0	15,4	15,0	14,7	14,4	14,1	13,8
3,5	15,4	15,1	14,8	14,5	14,3	14,0
4,0	15,5	15,2	15,0	14,8	14,6	14,4
4,5	15,8	15,6	15,4	15,2	15,0	14,8
5,0	16,3	16,1	16,0	15,8	15,7	15,5
5,5	17,0	16,9	16,7	16,6	16,6	16,4
6,0	18,0	17,9	17,8	17,7	17,6	17,6
6,5	19,3	19,2	19,2	19,1	19,1	19,1
7,0	20,9	20,9	21,0	21,0	21,0	21,1
7,5	23,1	23,2	23,3	23,4	23,6	23,7
8,0	26,1	26,3	26,5	26,7	27,0	27,2
8,5	30,1	30,5	30,8	31,2	31,6	32,0
9,0	35,8	36,4	37,0	37,6	38,3	38,9
9,5	44,3	45,2	46,2	47,1	48,1	49,1
10,0	57,5	58,9	60,3	61,6	62,8	63,9
10,2	64,9	66,4	67,9	69,2	70,2	70,9
10,4	73,7	75,3	76,6	77,4	77,7	77,4
10,6	84,0	85,1	85,5	85,0	83,6	81,3
10,8	94,8	94,1	92,3	89,1	84,9	79,8
11,0	102,6	98,2	92,5	85,8	78,7	71,7
11,1	—	—	—	80,9	73,1	65,7

Таблица 3

Относительная диэлектрическая проницаемость	Значение М при волновом образце										
	0,5	0,7	0,9	1,1	1,3	1,5	1,7	1,9	2,1	2,3	2,5
мк.											
1,5	0,99	0,98	0,98	0,97	0,97	0,96	0,96	0,95	0,94	0,94	0,93
2,0	0,98	0,97	0,95	0,94	0,93	0,92	0,91	0,89	0,88	0,87	0,87
2,5	0,96	0,95	0,93	0,91	0,89	0,88	0,86	0,85	0,84	0,83	0,82
3,0	0,95	0,93	0,90	0,88	0,86	0,84	0,83	0,82	0,81	0,80	0,79
4,0	0,92	0,89	0,86	0,83	0,81	0,80	0,78	0,77	0,77	0,76	0,76
5,0	0,89	0,85	0,82	0,80	0,78	0,77	0,76	0,75	0,74	0,74	0,74
6,0	0,87	0,82	0,79	0,77	0,76	0,75	0,74	0,74	0,73	0,73	0,73
7,0	0,84	0,80	0,77	0,75	0,74	0,73	0,73	0,73	0,72	0,72	0,72
8,0	0,82	0,78	0,76	0,74	0,73	0,73	0,72	0,72	0,72	0,72	0,71
9,0	0,80	0,77	0,75	0,73	0,72	0,72	0,72	0,71	0,71	0,71	0,71
10,0	0,79	0,76	0,74	0,73	0,72	0,71	0,71	0,71	0,71	0,71	0,71
12,0	0,77	0,74	0,72	0,72	0,71	0,71	0,70	0,70	0,70	0,70	0,70
14,0	0,75	0,73	0,71	0,71	0,70	0,70	0,70	0,70	0,70	0,70	0,70
16,0	0,74	0,72	0,71	0,70	0,70	0,70	0,70	0,70	0,70	0,70	0,70
18,0	0,73	0,71	0,70	0,70	0,70	0,70	0,70	0,70	0,70	0,70	0,70
20,0	0,72	0,71	0,70	0,70	0,69	0,69	0,69	0,69	0,69	0,69	0,69

Таблица 4

Относительная диэлектрическая проницаемость	Значение η при толщине образца										
	0,5	0,7	0,9	1,1	1,3	1,5	1,7	1,9	2,1	2,3	2,5
	мм										
1,5	0,99	0,98	0,98	0,97	0,96	0,96	0,96	0,94	0,94	0,93	0,92
2,0	0,96	0,97	0,95	0,94	0,92	0,91	0,90	0,89	0,88	0,87	0,86
2,5	0,96	0,94	0,92	0,90	0,89	0,87	0,86	0,84	0,83	0,82	0,81
3,0	0,95	0,92	0,90	0,87	0,85	0,84	0,82	0,81	0,80	0,79	0,79
4,0	0,92	0,88	0,85	0,83	0,81	0,79	0,78	0,77	0,77	0,76	0,76
5,0	0,89	0,85	0,82	0,80	0,78	0,77	0,76	0,76	0,75	0,75	0,75
6,0	0,86	0,82	0,79	0,77	0,76	0,76	0,75	0,75	0,74	0,74	0,74
7,0	0,84	0,80	0,78	0,76	0,75	0,75	0,74	0,74	0,74	0,74	0,74
8,0	0,82	0,78	0,77	0,76	0,75	0,74	0,74	0,74	0,73	0,73	0,73
9,0	0,81	0,77	0,76	0,75	0,74	0,74	0,74	0,73	0,73	0,73	0,73
10,0	0,79	0,76	0,75	0,74	0,73	0,73	0,73	0,73	0,73	0,73	0,73
12,0	0,77	0,75	0,74	0,74	0,73	0,73	0,73	0,73	0,73	0,73	0,73
14,0	0,76	0,75	0,74	0,73	0,73	0,73	0,73	0,73	0,73	0,73	0,73
16,0	0,75	0,74	0,73	0,73	0,73	0,73	0,73	0,73	0,73	0,73	0,73
18,0	0,75	0,74	0,73	0,73	0,73	0,73	0,72	0,72	0,72	0,73	0,73
20,0	0,74	0,73	0,73	0,73	0,73	0,72	0,72	0,72	0,72	0,72	0,73

ПРИЛОЖЕНИЕ 4 к ГОСТ 8.015-72
СправочноеТАБЛИЦА ЗНАЧЕНИЙ ФУНКЦИИ $\frac{\operatorname{sig} x}{x}$

Таблицы функции $\frac{\operatorname{sig} x}{x}$ вычислены для значений x от 0,000 до 5,000 рад.

Интервал между ближайшими значениями x составляет:

для значений x от 0,000 до 1,000—0,001 рад;

для значений x от 1,000 до 2,000—0,002 рад;

для значений x от 2,000 до 3,000—0,003 рад;

для значений x от 3,000 до 4,000—0,004 рад;

для значений x от 4,000 до 5,000—0,005 рад.

т. е. погрешность таблиц (без интерполяции) не превышает 0,1%.

Таблица функции $\frac{\operatorname{ctg} x}{x}$

x	$\frac{\operatorname{ctg} x}{x}$	x	$\frac{\operatorname{ctg} x}{x}$
0,000	—	0,049	416,16
0,001	999999,7	0,050	399,67
0,002	249999,7	0,051	384,13
0,003	111110,8	0,052	369,49
0,004	62499,7	0,053	355,67
0,005	39999,7	0,054	342,60
0,006	27777,4	0,055	330,25
0,007	20407,8	0,056	318,54
0,008	15624,7	0,057	307,45
0,009	12345,3	0,058	296,93
0,010	9999,7	0,059	286,94
0,011	8264,1	0,060	277,44
0,012	6944,1	0,061	268,41
0,013	5916,8	0,062	259,81
0,014	5101,7	0,063	251,62
0,015	4444,1	0,064	243,81
0,016	3905,9	0,065	236,35
0,017	3459,9	0,066	229,23
0,018	3086,1	0,067	222,43
0,019	2769,7	0,068	215,93
0,020	2499,7	0,069	209,71
0,021	2267,2	0,070	203,75
0,022	2065,8	0,071	198,04
0,023	1890,0	0,072	192,57
0,024	1735,8	0,073	187,32
0,025	1599,7	0,074	182,28
0,026	1479,0	0,075	177,44
0,027	1371,4	0,076	172,80
0,028	1275,2	0,077	168,33
0,029	1188,7	0,078	164,03
0,030	1110,8	0,079	159,90
0,031	1040,2	0,080	155,92
0,032	976,23	0,081	152,08
0,033	917,94	0,082	148,39
0,034	864,72	0,083	144,83
0,035	815,99	0,084	141,39
0,036	771,27	0,085	138,07
0,037	730,13	0,086	134,87
0,038	692,19	0,087	131,78
0,039	657,13	0,088	128,60
0,040	624,67	0,089	125,91
0,041	594,55	0,090	123,12
0,042	566,56	0,091	120,42
0,043	540,50	0,092	117,81
0,044	516,20	0,093	115,29
0,045	493,49	0,094	112,84
0,046	472,26	0,095	110,47
0,047	452,36	0,096	108,17
0,048	433,69	0,097	105,95

Продолжение

x	$\frac{\operatorname{ctg} x}{x}$	x	$\frac{\operatorname{ctg} x}{x}$
0,098	103,79	0,149	44,709 611
0,099	101,70	0,150	44,111 598
0,100	99,666	0,151	43,524 587
0,101	97,696	0,152	42,949 575
0,102	95,783	0,153	42,385 564
0,103	93,926	0,154	41,832 553
0,104	92,122	0,155	41,289 543
0,105	90,369	0,156	40,758 531
0,106	88,666	0,157	40,236 522
0,107	87,010	0,158	39,724 512
0,108	85,400	0,159	39,222 502
0,109	83,834	0,160	38,729 493
0,110	82,311	0,161	38,245 484
0,111	80,829	0,162	37,770 475
0,112	79,386	0,163	37,304 466
0,113	77,981	0,164	36,846 458
0,114	76,613	0,165	36,397 449
0,115	75,271	0,166	35,956 441
0,116	73,983	0,167	35,522 434
0,117	72,718	0,168	35,097 425
0,118	71,485	0,169	34,679 416
0,119	70,283	0,170	34,268 411
0,120	69,111	0,171	33,865 403
0,121	67,968	0,172	33,468 397
0,122	66,853	0,173	33,078 393
0,123	65,765	0,174	32,695 376
0,124	64,703	0,175	32,319 370
0,125	63,666	0,176	31,949 364
0,126	62,654	0,177	31,583 357
0,127	61,666	0,178	31,228 352
0,128	60,701	0,179	30,876 346
0,129	59,759	0,180	30,530 340
0,130	58,838 900	0,181	30,190 334
0,131	57,938 880	0,182	29,856 330
0,132	57,058 859	0,183	29,526 323
0,133	56,199 859	0,184	29,203 319
0,134	55,358 841	0,185	28,884 313
0,135	54,536 822	0,186	28,571 308
0,136	53,732 786	0,187	28,263 304
0,137	52,946 770	0,188	27,959 298
0,138	52,176 753	0,189	27,661 294
0,139	51,423 736	0,190	27,367 290
0,140	50,687 721	0,191	27,077 286
0,141	49,966 706	0,192	26,793 284
0,142	49,260 692	0,193	26,512 281
0,143	48,568 676	0,194	26,236 272
0,144	47,892 663	0,195	25,964 267
0,145	47,229 650	0,196	25,697 264
0,146	46,579 636	0,197	25,433 260
0,147	45,943 623	0,198	25,173 255
0,148	45,320	0,199	24,918 ..

Продолжение

x	$\frac{\epsilon_{\text{rel}} x}{x}$	x	$\frac{\epsilon_{\text{rel}} x}{x}$	
0,200	24,666	252	15,538	127
0,201	24,418	248	15,412	126
0,202	24,173	245	15,288	124
0,203	23,932	241	15,165	123
0,204	23,695	237	15,044	121
0,205	23,461	234	14,924	120
0,206	23,231	230	14,805	119
0,207	23,003	228	14,688	117
0,208	22,780	223	14,573	115
0,209	22,559	221	14,458	115
0,210	22,341	218	14,345	113
0,211	22,127	214	14,233	112
0,212	21,916	211	14,122	111
0,213	21,707	209	14,013	109
0,214	21,502	205	13,905	108
0,215	21,299	203	13,798	107
0,216	21,099	200	13,692	106
0,217	20,902	197	13,587	105
0,218	20,708	194	13,485	102
0,219	20,516	192	13,382	103
0,220	20,327	189	13,281	101
0,221	20,140	187	13,181	100
0,222	19,956	184	13,083	98
0,223	19,775	181	12,985	98
0,224	19,595	180	12,888	97
0,225	19,419	176	12,792	96
0,226	19,244	175	12,698	94
0,227	19,072	172	12,604	94
0,228	18,902	170	12,512	92
0,229	18,735	167	12,420	91
0,230	18,569	166	12,329	89
0,231	18,406	163	12,240	89
0,232	18,245	161	12,151	88
0,233	18,085	160	12,063	88
0,234	17,928	157	11,976	87
0,235	17,773	155	11,890	86
0,236	17,620	153	11,805	85
0,237	17,469	151	11,721	84
0,238	17,320	149	11,638	83
0,239	17,172	148	11,555	83
0,240	17,026	146	11,474	81
0,241	16,883	143	11,393	81
0,242	16,741	142	11,313	80
0,243	16,600	141	11,234	79
0,244	16,462	138	11,156	78
0,245	16,325	137	11,078	77
0,246	16,190	135	11,001	76
0,247	16,056	134	10,925	76
0,248	15,924	132	10,850	75
0,249	15,794	130	10,776	74
0,250	15,665	129	10,702	74

Продолжение

x	$\operatorname{ctg} x$		x	$\operatorname{ctg} x$	
	x	x		x	x
0,302	10,629	73	0,353	7,6890	456
0,303	10,557	72	0,354	7,6437	453
0,304	10,485	72	0,355	7,5988	449
0,305	10,414	71	0,356	7,5542	446
0,306	10,344	70	0,357	7,5101	441
0,307	10,275	69	0,358	7,4663	438
0,308	10,206	68	0,359	7,4229	434
0,309	10,138	68	0,360	7,3798	431
0,310	10,070	66	0,361	7,3371	424
0,311	10,0040	667	0,362	7,2947	420
0,312	9,9373	655	0,363	7,2527	416
0,313	9,8718	649	0,364	7,2111	413
0,314	9,8069	644	0,365	7,1698	410
0,315	9,7425	637	0,366	7,1288	407
0,316	9,6788	631	0,367	7,0881	403
0,317	9,6157	625	0,368	7,0473	400
0,318	9,5532	619	0,369	7,0073	396
0,319	9,4913	613	0,370	6,9682	394
0,320	9,4300	608	0,371	6,9288	390
0,321	9,3692	602	0,372	6,8898	387
0,322	9,3090	596	0,373	6,8511	384
0,323	9,2494	591	0,374	6,8127	381
0,324	9,1903	585	0,375	6,7746	378
0,325	9,1318	581	0,376	6,7368	375
0,326	9,0737	574	0,377	6,6993	372
0,327	9,0163	570	0,378	6,6621	369
0,328	8,9593	564	0,379	6,6252	366
0,329	8,9029	559	0,380	6,5886	363
0,330	8,8470	553	0,381	6,5523	360
0,331	8,7915	549	0,382	6,5163	358
0,332	8,7366	544	0,383	6,4805	355
0,333	8,6822	539	0,384	6,4450	352
0,334	8,6283	535	0,385	6,4098	349
0,335	8,5748	530	0,386	6,3749	347
0,336	8,5218	525	0,387	6,3402	344
0,337	8,4693	520	0,388	6,3058	341
0,338	8,4173	516	0,389	6,2717	338
0,339	8,3657	511	0,390	6,2379	336
0,340	8,3146	507	0,391	6,2043	334
0,341	8,2630	502	0,392	6,1709	331
0,342	8,2137	498	0,393	6,1378	328
0,343	8,1639	494	0,394	6,1050	326
0,344	8,1145	489	0,395	6,0724	324
0,345	8,0656	485	0,396	6,0400	321
0,346	8,0171	481	0,397	6,0079	318
0,347	7,9690	477	0,398	5,9761	317
0,348	7,9213	473	0,399	5,9444	313
0,349	7,8740	468	0,400	5,9131	312
0,350	7,8272	465	0,401	5,8819	309
0,351	7,7807	461	0,402	5,8510	307
0,352	7,7346	461	0,403	5,8203	

Продолжение

x	$\frac{\operatorname{ctgx}}{x}$	x	$\frac{\operatorname{ctgx}}{x}$
0,404	5,7898	305	0,455
0,405	5,7596	302	0,456
0,406	5,7296	300	0,457
0,407	5,6998	298	0,458
0,408	5,6702	296	0,459
0,409	5,6409	293	0,460
0,410	5,6117	292	0,461
0,411	5,5828	289	0,462
0,412	5,5541	287	0,463
0,413	5,5255	286	0,464
0,414	5,4972	283	0,465
0,415	5,4691	281	0,466
0,416	5,4412	279	0,467
0,417	5,4135	277	0,468
0,418	5,3860	275	0,469
0,419	5,3587	273	0,470
0,420	5,3316	271	0,471
0,421	5,3047	269	0,472
0,422	5,2780	267	0,473
0,423	5,2514	266	0,474
0,424	5,2251	262	0,475
0,425	5,1989	260	0,476
0,426	5,1729	258	0,477
0,427	5,1471	256	0,478
0,428	5,1215	254	0,479
0,429	5,0961	253	0,480
0,430	5,0708	251	0,481
0,431	5,0457	249	0,482
0,432	5,0208	247	0,483
0,433	4,9961	247	0,484
0,434	4,9715	246	0,485
0,435	4,9471	244	0,486
0,436	4,9229	242	0,487
0,437	4,8988	241	0,488
0,438	4,8749	239	0,489
0,439	4,8512	237	0,490
0,440	4,8276	236	0,491
0,441	4,8042	234	0,492
0,442	4,7809	233	0,493
0,443	4,7578	231	0,494
0,444	4,7348	230	0,495
0,445	4,7120	228	0,496
0,446	4,6894	226	0,497
0,447	4,6669	225	0,498
0,448	4,6446	223	0,499
0,449	4,6224	222	0,500
0,450	4,6003	221	0,501
0,451	4,5784	219	0,502
0,452	4,5567	217	0,503
0,453	4,5351	216	0,504
0,454	4,5136	215	0,505

x	$\operatorname{ctg} x$	x	$\operatorname{ctg} x$	x
0,506	3,5665	155	0,557	2,8828 116
0,507	3,5611	154	0,558	2,8712 116
0,508	3,5558	153	0,559	2,8597 115
0,509	3,5206	152	0,560	2,8483 114
0,510	3,5054	150	0,561	2,8369 114
0,511	3,4901	150	0,562	2,8255 112
0,512	3,4754	149	0,563	2,8143 112
0,513	3,4605	148	0,564	2,8031 112
0,514	3,4457	147	0,565	2,7919 111
0,515	3,4310	146	0,566	2,7808 110
0,516	3,4164	146	0,567	2,7698 109
0,517	3,4018	144	0,568	2,7589 109
0,518	3,3874	144	0,569	2,7480 109
0,519	3,3730	143	0,570	2,7371 108
0,520	3,3587	142	0,571	2,7263 108
0,521	3,3445	141	0,572	2,7155 107
0,522	3,3304	141	0,573	2,7048 106
0,523	3,3163	139	0,574	2,6942 106
0,524	3,3024	139	0,575	2,6836 105
0,525	3,2885	138	0,576	2,6731 104
0,526	3,2747	137	0,577	2,6627 104
0,527	3,2610	137	0,578	2,6523 104
0,528	3,2473	136	0,579	2,6419 103
0,529	3,2337	135	0,580	2,6316 103
0,530	3,2202	134	0,581	2,6213 102
0,531	3,2068	133	0,582	2,6111 101
0,532	3,1935	133	0,583	2,6010 101
0,533	3,1802	132	0,584	2,5909 100
0,534	3,1670	131	0,585	2,5809 100
0,535	3,1539	131	0,586	2,5709 100
0,536	3,1408	129	0,587	2,5609 99
0,537	3,1279	129	0,588	2,5510 98
0,538	3,1150	129	0,589	2,5412 98
0,539	3,1021	127	0,590	2,5314 97
0,540	3,0894	127	0,591	2,5217 97
0,541	3,0767	127	0,592	2,5120 97
0,542	3,0640	125	0,593	2,5023 96
0,543	3,0513	125	0,594	2,4927 95
0,544	3,0390	125	0,595	2,4832 95
0,545	3,0266	124	0,596	2,4737 95
0,546	3,0142	122	0,597	2,4642 94
0,547	3,0020	122	0,598	2,4548 93
0,548	2,9898	122	0,599	2,4455 93
0,549	2,9776	121	0,600	2,4362 93
0,550	2,9655	120	0,601	2,4269 92
0,551	2,9535	119	0,602	2,4177 92
0,552	2,9416	119	0,603	2,4085 91
0,553	2,9297	118	0,604	2,3994 91
0,554	2,9179	118	0,605	2,3903 90
0,555	2,9061	117	0,606	2,3813 90
0,556	2,8944	117	0,607	2,3723

Продолжение

x	$\frac{\operatorname{ctg} x}{x}$	x	$\frac{\operatorname{ctg} x}{x}$
0.608	2.3633	90	1.9393
0.609	2.3544	89	1.9523
0.610	2.3455	89	1.9453
0.611	2.3367	88	1.9383
0.612	2.3279	87	1.9314
0.613	2.3192	87	1.9245
0.614	2.3105	86	1.9177
0.615	2.3019	86	1.9109
0.616	2.2933	86	1.9041
0.617	2.2847	86	1.8973
0.618	2.2762	85	1.8906
0.619	2.2677	85	1.8839
0.620	2.2593	84	1.8772
0.621	2.2509	84	1.8706
0.622	2.2425	84	1.8640
0.623	2.2342	83	1.8574
0.624	2.2259	83	1.8509
0.625	2.2177	82	1.8444
0.626	2.2094	83	1.8379
0.627	2.2013	81	1.8314
0.628	2.1932	81	1.8250
0.629	2.1851	81	1.8186
0.630	2.1770	81	1.8122
0.631	2.1690	80	1.8058
0.632	2.1610	80	1.7995
0.633	2.1531	79	1.7932
0.634	2.1452	79	1.7869
0.635	2.1374	79	1.7807
0.636	2.1295	78	1.7745
0.637	2.1217	78	1.7683
0.638	2.1140	77	1.7621
0.639	2.1063	77	1.7560
0.640	2.0986	77	1.7499
0.641	2.0910	76	1.7438
0.642	2.0834	76	1.7377
0.643	2.0758	76	1.7317
0.644	2.0682	75	1.7257
0.645	2.0607	75	1.7197
0.646	2.0533	74	1.7138
0.647	2.0458	75	1.7078
0.648	2.0384	74	1.7019
0.649	2.0311	73	1.6961
0.650	2.0237	73	1.6902
0.651	2.0164	72	1.6844
0.652	2.0092	72	1.6786
0.653	2.0020	72	1.6728
0.654	1.9948	72	1.6670
0.655	1.9876	72	1.6613
0.656	1.9805	71	1.6556
0.657	1.9734	71	1.6499
0.658	1.9663	71	1.6443

Продолжение

x	cig_x		x	cig_x	
	x	x		x	x
0,710	1,6386	57	0,761	1,3798	46
0,711	1,6330	56	0,762	1,3752	46
0,712	1,6274	56	0,763	1,3707	45
0,713	1,6219	55	0,764	1,3662	45
0,714	1,6163	56	0,765	1,3616	46
0,715	1,6108	55	0,766	1,3571	45
0,716	1,6053	55	0,767	1,3527	45
0,717	1,5998	54	0,768	1,3482	45
0,718	1,5944	54	0,769	1,3438	44
0,719	1,5890	54	0,770	1,3393	45
0,720	1,5836	54	0,771	1,3349	44
0,721	1,5782	54	0,772	1,3305	44
0,722	1,5728	54	0,773	1,3261	43
0,723	1,5675	53	0,774	1,3218	44
0,724	1,5622	53	0,775	1,3174	43
0,725	1,5569	53	0,776	1,3131	43
0,726	1,5516	53	0,777	1,3088	43
0,727	1,5463	53	0,778	1,3045	43
0,728	1,5411	52	0,779	1,3002	42
0,729	1,5359	52	0,780	1,2960	43
0,730	1,5307	52	0,781	1,2917	42
0,731	1,5255	51	0,782	1,2875	42
0,732	1,5204	51	0,783	1,2833	42
0,733	1,5153	51	0,784	1,2791	42
0,734	1,5102	51	0,785	1,2749	42
0,735	1,5051	51	0,786	1,2707	41
0,736	1,5000	51	0,787	1,2666	42
0,737	1,4950	50	0,788	1,2624	41
0,738	1,4900	50	0,789	1,2583	41
0,739	1,4850	50	0,790	1,2542	41
0,740	1,4800	50	0,791	1,2501	41
0,741	1,4750	49	0,792	1,2461	40
0,742	1,4701	50	0,793	1,2420	40
0,743	1,4651	49	0,794	1,2380	41
0,744	1,4602	48	0,795	1,2339	40
0,745	1,4554	49	0,796	1,2299	40
0,746	1,4505	49	0,797	1,2259	40
0,747	1,4457	49	0,798	1,2219	39
0,748	1,4408	48	0,799	1,2180	40
0,749	1,4360	48	0,800	1,2140	39
0,750	1,4312	47	0,801	1,2101	39
0,751	1,4265	47	0,802	1,2062	40
0,752	1,4217	48	0,803	1,2022	39
0,753	1,4170	47	0,804	1,1983	38
0,754	1,4123	47	0,805	1,1945	39
0,755	1,4076	47	0,806	1,1906	39
0,756	1,4029	47	0,807	1,1867	39
0,757	1,3982	47	0,808	1,1829	38
0,758	1,3936	46	0,809	1,1791	38
0,759	1,3890	46	0,810	1,1753	38
0,760	1,3844	46	0,811	1,1715	

Продолжение

x	$\frac{\operatorname{ctg} x}{x}$	x	$\frac{\operatorname{ctg} x}{x}$
0,812	1,1677	38	0,863
0,813	1,1639	37	0,864
0,814	1,1602	36	0,865
0,815	1,1564	37	0,866
0,816	1,1527	37	0,867
0,817	1,1490	37	0,868
0,818	1,1453	37	0,869
0,819	1,1416	37	0,870
0,820	1,1379	37	0,871
0,821	1,1342	36	0,872
0,822	1,1306	36	0,873
0,823	1,1270	37	0,874
0,824	1,1233	37	0,875
0,825	1,1197	36	0,876
0,826	1,1161	36	0,877
0,827	1,1125	35	0,878
0,828	1,1090	36	0,879
0,829	1,1054	35	0,880
0,830	1,1019	36	0,881
0,831	1,0983	36	0,882
0,832	1,0948	35	0,883
0,833	1,0913	35	0,884
0,834	1,0878	35	0,885
0,835	1,0843	34	0,886
0,836	1,0809	35	0,887
0,837	1,0774	35	0,888
0,838	1,0739	35	0,889
0,839	1,0705	34	0,890
0,840	1,0671	34	0,891
0,841	1,0637	34	0,892
0,842	1,0603	34	0,893
0,843	1,0569	34	0,894
0,844	1,0535	34	0,895
0,845	1,0501	33	0,896
0,846	1,0468	33	0,897
0,847	1,0435	33	0,898
0,848	1,0401	34	0,899
0,849	1,0368	33	0,900
0,850	1,0335	33	0,901
0,851	1,0302	33	0,902
0,852	1,0269	32	0,903
0,853	1,0237	33	0,904
0,854	1,0204	33	0,905
0,855	1,0171	32	0,906
0,856	1,0139	32	0,907
0,857	1,0107	32	0,908
0,858	1,0075	32	0,909
0,859	1,0043	32	0,910
0,860	1,0011	318	0,911
0,861	0,99788	316	0,912
0,862	0,99470	316	0,913

Продолжение

x	$\frac{\operatorname{ctg} x}{x}$	x	$\frac{\operatorname{ctg} x}{x}$	
0,914	0,84353	267	0,71780	228
0,915	0,84086	267	0,71553	227
0,916	0,83821	265	0,71326	226
0,917	0,83556	263	0,71100	225
0,918	0,83293	263	0,70875	225
0,919	0,83030	263	0,70650	224
0,920	0,82768	262	0,70426	223
0,921	0,82506	260	0,70203	223
0,922	0,82246	260	0,69980	222
0,923	0,81986	259	0,69758	221
0,924	0,81727	258	0,69537	221
0,925	0,81469	257	0,69316	220
0,926	0,81212	256	0,69096	219
0,927	0,80956	255	0,68877	219
0,928	0,80701	255	0,68658	218
0,929	0,80446	254	0,68440	218
0,930	0,80192	254	0,68222	217
0,931	0,79938	252	0,68005	216
0,932	0,79686	252	0,67789	215
0,933	0,79434	251	0,67574	215
0,934	0,79183	250	0,67359	214
0,935	0,78933	249	0,67145	214
0,936	0,78684	248	0,66931	214
0,937	0,78436	248	0,66718	214
0,938	0,78188	247	0,66505	211
0,939	0,77941	246	0,66294	211
0,940	0,77695	245	0,66083	211
0,941	0,77450	245	0,65872	210
0,942	0,77205	244	0,65662	209
0,943	0,76961	243	0,65453	209
0,944	0,76718	242	0,65244	208
0,945	0,76476	242	0,65036	208
0,946	0,76234	241	0,64828	207
0,947	0,75993	240	0,64621	206
0,948	0,75753	239	0,64415	206
0,949	0,75514	239	0,64209	409
0,950	0,75275	238	0,63800	408
0,951	0,75037	237	0,63392	405
0,952	0,74800	237	0,62987	403
0,953	0,74563	235	0,62584	400
0,954	0,74328	235	0,62184	397
0,955	0,74093	235	0,61787	397
0,956	0,73858	234	0,61390	394
0,957	0,73624	233	0,60996	391
0,958	0,73391	232	0,60605	389
0,959	0,73159	232	0,60216	387
0,960	0,72297	231	0,59829	385
0,961	0,72696	230	0,59444	383
0,962	0,72466	229	0,59061	381
0,963	0,72237	229	0,58680	378
0,964	0,72008	229	0,58302	

Продолжение

x	$\frac{\operatorname{ctg} x}{x}$	x	$\frac{\operatorname{ctg} x}{x}$
1,032	0,57925	377	
1,034	0,57552	373	1,134
1,036	0,57180	372	1,136
1,038	0,56809	371	1,138
1,040	0,56441	368	1,140
1,042	0,56075	366	1,142
1,044	0,55711	364	1,144
1,046	0,55349	362	1,146
1,048	0,54988	361	1,148
1,050	0,54630	358	1,150
1,052	0,54274	356	1,152
1,054	0,53920	354	1,154
1,056	0,53567	353	1,156
1,058	0,53217	350	1,158
1,060	0,52868	349	1,160
1,062	0,52522	346	1,162
1,064	0,52177	345	1,164
1,066	0,51834	343	1,166
1,068	0,51493	341	1,168
1,070	0,51153	340	1,170
1,072	0,50815	338	1,172
1,074	0,50479	336	1,174
1,076	0,50145	334	1,176
1,078	0,49813	332	1,178
1,080	0,49483	330	1,180
1,082	0,49153	330	1,182
1,084	0,48827	326	1,184
1,086	0,48501	326	1,186
1,088	0,48173	323	1,188
1,090	0,47856	322	1,190
1,092	0,47535	321	1,192
1,094	0,47217	318	1,194
1,096	0,46899	318	1,196
1,098	0,46584	315	1,198
1,100	0,46270	314	1,200
1,102	0,45957	313	1,202
1,104	0,45647	310	1,204
1,106	0,45337	310	1,206
1,108	0,45030	307	1,208
1,110	0,44724	306	1,210
1,112	0,44420	304	1,212
1,114	0,44118	302	1,214
1,116	0,43816	302	1,216
1,118	0,43516	300	1,218
1,120	0,43217	299	1,220
1,122	0,42921	296	1,222
1,124	0,42625	296	1,224
1,126	0,42331	294	1,226
1,128	0,42039	292	1,228
1,130	0,41748	291	1,230
1,132	0,41459	289	1,232
			1,234
			0,28374

Продолжение

x	$\frac{\operatorname{ctg} x}{x}$	x	$\frac{\operatorname{ctg} x}{x}$
1,236	0,28147	227	1,338
1,238	0,27921	226	1,340
1,240	0,27693	225	1,342
1,242	0,27470	223	1,344
1,244	0,27247	223	1,346
1,246	0,27024	221	1,348
1,248	0,26803	221	1,350
1,250	0,26582	220	1,352
1,252	0,26362	219	1,354
1,254	0,26143	218	1,356
1,256	0,25925	217	1,358
1,258	0,25708	216	1,360
1,260	0,25492	215	1,362
1,262	0,25277	214	1,364
1,264	0,25063	213	1,366
1,266	0,24850	213	1,368
1,268	0,24637	211	1,370
1,270	0,24426	211	1,372
1,272	0,24215	210	1,374
1,274	0,24005	209	1,376
1,276	0,23796	208	1,378
1,278	0,23588	207	1,380
1,280	0,23381	206	1,382
1,282	0,23175	206	1,384
1,284	0,22969	204	1,386
1,286	0,22765	204	1,388
1,288	0,22561	203	1,390
1,290	0,22358	202	1,392
1,292	0,22156	202	1,394
1,294	0,21954	200	1,396
1,296	0,21754	200	1,398
1,298	0,21554	199	1,400
1,300	0,21355	198	1,402
1,302	0,21157	197	1,404
1,304	0,20960	197	1,406
1,306	0,20763	196	1,408
1,308	0,20567	195	1,410
1,310	0,20372	195	1,412
1,312	0,20178	194	1,414
1,314	0,19984	194	1,416
1,316	0,19792	192	1,418
1,318	0,19600	192	1,420
1,320	0,19408	192	1,422
1,322	0,19218	190	1,424
1,324	0,19028	189	1,426
1,326	0,18839	188	1,428
1,328	0,18651	188	1,430
1,330	0,18463	187	1,432
1,332	0,18276	186	1,434
1,334	0,18090	185	1,436
1,336	0,17905		1,438

Продолжение

x	$\frac{\operatorname{ctg} x}{x}$	x	$\frac{\operatorname{ctg} x}{x}$		
1,440	0,09135	155	1,542	0,01868	132
1,442	0,08982	153	1,544	0,01736	132
1,444	0,08828	154	1,546	0,01604	132
1,446	0,08676	152	1,548	0,01473	131
1,448	0,08523	153	1,550	0,01342	131
1,450	0,08372	151	1,552	0,01212	130
1,452	0,08220	152	1,554	0,01081	131
1,454	0,08070	150	1,556	0,00951	130
1,456	0,07919	151	1,558	0,00821	130
1,458	0,07769	150	1,560	0,00692	129
1,460	0,07620	149	1,562	0,00563	129
1,462	0,07471	149	1,564	0,00435	128
1,464	0,07323	148	1,566	0,00306	129
1,466	0,07175	148	1,568	0,00178	128
1,468	0,07027	148	1,570	0,00051	127
1,470	0,06880	147	1,572	-0,00076	127
1,472	0,06734	146	1,574	-0,00203	127
1,474	0,06588	146	1,576	-0,00330	127
1,476	0,06442	146	1,578	-0,00456	126
1,478	0,06297	145	1,580	-0,00582	126
1,480	0,06152	145	1,582	-0,00708	126
1,482	0,06008	144	1,584	-0,00833	125
1,484	0,05864	144	1,586	-0,00958	125
1,486	0,05720	143	1,588	-0,01083	125
1,488	0,05577	143	1,590	-0,01208	125
1,490	0,05434	143	1,592	-0,01332	124
1,492	0,05292	142	1,594	-0,01456	124
1,494	0,05150	142	1,596	-0,01579	123
1,496	0,05009	141	1,598	-0,01703	124
1,498	0,04868	141	1,600	-0,01826	123
1,500	0,04728	140	1,602	-0,01948	122
1,502	0,04587	141	1,604	-0,02071	123
1,504	0,04448	139	1,606	-0,02193	122
1,506	0,04308	140	1,608	-0,02315	122
1,508	0,04169	139	1,610	-0,02436	121
1,510	0,04031	138	1,612	-0,02557	121
1,512	0,03893	138	1,614	-0,02678	121
1,514	0,03756	137	1,616	-0,02799	121
1,516	0,03618	138	1,618	-0,02919	121
1,518	0,03481	137	1,620	-0,03039	120
1,520	0,03344	137	1,622	-0,03159	120
1,522	0,03209	135	1,624	-0,03279	120
1,524	0,03073	136	1,626	-0,03398	119
1,526	0,02937	136	1,628	-0,03517	119
1,528	0,02802	135	1,630	-0,03636	119
1,530	0,02668	134	1,632	-0,03755	119
1,532	0,02534	134	1,634	-0,03873	119
1,534	0,02400	134	1,636	-0,03991	118
1,536	0,02266	134	1,638	-0,04109	118
1,538	0,02133	133	1,640	-0,04226	118
1,540	0,02000	133	1,642	-0,04344	117

Продолжение

x	$\frac{\operatorname{ctg} x}{x}$	x	$\frac{\operatorname{ctg} x}{x}$
1,644	-0,04461	118	1,744
1,646	-0,04577	117	1,746
1,648	-0,04694	116	1,748
1,650	-0,04810	116	1,752
1,652	-0,04926	116	1,754
1,654	-0,05042	116	1,756
1,656	-0,05158	115	1,758
1,658	-0,05273	115	1,760
1,660	-0,05388	115	1,762
1,662	-0,05503	114	1,764
1,664	-0,05617	115	1,766
1,666	-0,05732	114	1,768
1,668	-0,05846	114	1,770
1,670	-0,05960	114	1,772
1,672	-0,06074	113	1,774
1,674	-0,06187	113	1,776
1,676	-0,06300	113	1,778
1,678	-0,06413	113	1,780
1,680	-0,06526	113	1,782
1,682	-0,06639	112	1,786
1,684	-0,06751	112	1,788
1,686	-0,06863	112	1,790
1,688	-0,06975	112	1,792
1,690	-0,07087	112	1,794
1,692	-0,07199	111	1,796
1,694	-0,07310	111	1,798
1,696	-0,07421	111	1,800
1,698	-0,07532	111	1,802
1,700	-0,07643	110	1,804
1,702	-0,07753	111	1,806
1,704	-0,07864	110	1,808
1,706	-0,07974	110	1,810
1,708	-0,08084	109	1,812
1,710	-0,08193	110	1,814
1,712	-0,08303	109	1,816
1,714	-0,08412	109	1,818
1,716	-0,08521	110	1,820
1,718	-0,08631	109	1,822
1,720	-0,08740	108	1,824
1,722	-0,08848	109	1,826
1,724	-0,08957	108	1,828
1,726	-0,09065	108	1,830
1,728	-0,09173	108	1,832
1,730	-0,09281	108	1,834
1,732	-0,09389	107	1,836
1,734	-0,09496	108	1,838
1,736	-0,09604	107	1,840
1,738	-0,09711	107	1,842
1,740	-0,09818	107	1,844
1,742	-0,09925		

Продолжение

x	$\frac{\operatorname{ctg} x}{x}$	x	$\frac{\operatorname{ctg} x}{x}$
1,846	-0,15296	100	1,948
1,848	-0,15397	101	1,950
1,850	-0,15497	100	1,952
1,852	-0,15597	100	1,954
1,854	-0,15697	100	1,956
1,856	-0,15797	100	1,958
1,858	-0,15897	100	1,960
1,860	-0,15997	100	1,962
1,862	-0,16097	100	1,964
1,864	-0,16197	100	1,966
1,866	-0,16296	99	1,968
1,868	-0,16396	100	1,970
1,870	-0,16495	99	1,972
1,872	-0,16595	100	1,974
1,874	-0,16694	99	1,976
1,876	-0,16794	100	1,978
1,878	-0,16893	99	1,980
1,880	-0,16992	99	1,982
1,882	-0,17091	99	1,984
1,884	-0,17190	99	1,986
1,886	-0,17289	99	1,988
1,888	-0,17388	99	1,990
1,890	-0,17487	99	1,992
1,892	-0,17586	99	1,994
1,894	-0,17685	99	1,996
1,896	-0,17783	98	1,998
1,898	-0,17882	99	2,000
1,900	-0,17981	98	2,003
1,902	-0,18079	98	2,006
1,904	-0,18178	98	2,009
1,906	-0,18276	98	2,012
1,908	-0,18375	98	2,015
1,910	-0,18474	98	2,018
1,912	-0,18572	98	2,021
1,914	-0,18670	98	2,024
1,916	-0,18768	98	2,027
1,918	-0,18867	98	2,030
1,920	-0,18965	98	2,033
1,922	-0,19063	98	2,036
1,924	-0,19161	98	2,039
1,926	-0,19259	98	2,042
1,928	-0,19358	99	2,045
1,930	-0,19456	98	2,048
1,932	-0,19554	98	2,051
1,934	-0,19652	98	2,054
1,936	-0,19750	98	2,057
1,938	-0,19848	98	2,060
1,940	-0,19946	98	2,063
1,942	-0,20044	98	2,066
1,944	-0,20142	97	2,069
1,946	-0,20239		2,072

Продолжение

λ	$cigr_x$		x	eig_x	
	x	x		x	x
2,075	-0,26591	150	2,228	-0,34634	168
2,078	-0,26741	150	2,231	-0,34802	169
2,081	-0,26892	151	2,234	-0,34971	170
2,084	-0,27043	151	2,237	-0,35141	170
2,087	-0,27194	151	2,240	-0,35311	170
2,090	-0,27345	151	2,243	-0,35481	172
2,093	-0,27496	152	2,246	-0,35653	172
2,096	-0,27648	151	2,249	-0,35825	172
2,099	-0,27799	152	2,252	-0,35997	173
2,102	-0,27951	152	2,255	-0,36170	174
2,105	-0,28103	153	2,258	-0,36344	174
2,108	-0,28256	153	2,261	-0,36518	175
2,111	-0,28409	153	2,264	-0,36693	176
2,114	-0,28562	153	2,267	-0,36869	177
2,117	-0,28715	153	2,270	-0,37046	176
2,120	-0,28868	154	2,273	-0,37222	178
2,123	-0,29022	155	2,276	-0,37400	178
2,126	-0,29177	154	2,279	-0,37578	179
2,129	-0,29331	154	2,282	-0,37757	180
2,132	-0,29485	155	2,285	-0,37937	180
2,135	-0,29640	155	2,288	-0,38117	182
2,138	-0,29796	155	2,291	-0,38299	182
2,141	-0,29951	156	2,294	-0,38451	183
2,144	-0,30107	156	2,297	-0,38654	183
2,147	-0,30263	157	2,300	-0,38847	184
2,150	-0,30420	157	2,303	-0,39031	185
2,153	-0,30577	157	2,306	-0,39216	186
2,156	-0,30734	158	2,309	-0,39402	187
2,159	-0,30892	158	2,312	-0,39589	188
2,162	-0,31050	158	2,315	-0,39777	188
2,165	-0,31208	158	2,318	-0,39965	189
2,168	-0,31367	159	2,321	-0,40154	190
2,171	-0,31526	160	2,324	-0,40344	191
2,174	-0,31686	160	2,327	-0,40535	192
2,177	-0,31846	160	2,330	-0,40727	193
2,180	-0,32006	161	2,333	-0,40920	193
2,183	-0,32167	161	2,336	-0,41113	195
2,186	-0,32328	162	2,339	-0,41308	195
2,189	-0,32490	162	2,342	-0,41503	197
2,192	-0,32652	162	2,345	-0,41700	197
2,195	-0,32814	163	2,348	-0,41897	198
2,198	-0,32977	164	2,351	-0,42095	199
2,201	-0,33141	163	2,354	-0,42294	201
2,204	-0,33304	165	2,357	-0,42495	201
2,207	-0,33469	165	2,360	-0,42696	203
2,210	-0,33634	165	2,363	-0,42899	204
2,213	-0,33799	166	2,366	-0,43103	204
2,216	-0,33965	166	2,369	-0,43307	206
2,219	-0,34131	167	2,372	-0,43513	206
2,222	-0,34298	168	2,375	-0,43719	208
2,225	-0,34466	168	2,378	-0,43927	208

Продолжение

x	$\frac{\operatorname{ctg} x}{x}$	x	$\frac{\operatorname{ctg} x}{x}$
2,381	-0,44136	209	2,534
2,384	-0,44346	210	2,537
2,387	-0,44558	212	2,540
2,390	-0,44770	214	2,543
2,393	-0,44984	215	2,546
2,396	-0,45199	216	2,549
2,399	-0,45415	217	2,552
2,402	-0,45632	219	2,555
2,405	-0,45851	219	2,558
2,408	-0,46070	222	2,561
2,411	-0,46292	222	2,564
2,414	-0,46514	224	2,567
2,417	-0,46738	224	2,570
2,420	-0,46963	225	2,573
2,423	-0,47190	228	2,576
2,426	-0,47418	229	2,579
2,429	-0,47647	231	2,582
2,432	-0,47878	232	2,585
2,435	-0,48110	234	2,588
2,438	-0,48344	235	2,591
2,441	-0,48579	237	2,594
2,444	-0,48816	238	2,597
2,447	-0,49054	240	2,600
2,450	-0,49294	242	2,603
2,453	-0,49536	243	2,606
2,456	-0,49779	244	2,609
2,459	-0,50023	244	2,612
2,462	-0,50270	247	2,615
2,465	-0,50518	248	2,618
2,468	-0,50768	250	2,621
2,471	-0,51019	253	2,624
2,474	-0,51272	256	2,627
2,477	-0,51528	257	2,630
2,480	-0,51785	258	2,633
2,483	-0,52043	261	2,636
2,486	-0,52304	263	2,639
2,489	-0,52567	264	2,642
2,492	-0,52831	266	2,645
2,495	-0,53097	269	2,648
2,498	-0,53366	270	2,651
2,501	-0,53636	273	2,654
2,504	-0,53909	274	2,657
2,507	-0,54183	274	2,660
2,510	-0,54460	277	2,663
2,513	-0,54739	279	2,666
2,516	-0,55020	281	2,669
2,519	-0,55303	283	2,672
2,522	-0,55589	286	2,675
2,525	-0,55876	287	2,678
2,528	-0,56166	290	2,681
2,531	-0,56459	293	2,684

Продолжение

x	$\frac{\operatorname{cig}x}{x}$	x	$\frac{\operatorname{cig}x}{x}$
2,687	-0,76149	492	2,840
2,690	-0,76645	495	2,843
2,693	-0,77149	504	2,846
2,696	-0,77659	515	2,849
2,699	-0,78174	523	2,852
2,702	-0,78697	529	2,855
2,705	-0,79226	536	2,858
2,708	-0,79762	542	2,861
2,711	-0,80304	550	2,864
2,714	-0,80854	557	2,867
2,717	-0,81411	565	2,870
2,720	-0,81976	572	2,873
2,723	-0,82548	580	2,876
2,726	-0,83128	587	2,879
2,729	-0,83715	594	2,882
2,732	-0,84309	606	2,885
2,735	-0,84915	613	2,888
2,738	-0,85528	620	2,891
2,741	-0,86148	630	2,894
2,744	-0,86778	639	2,897
2,747	-0,87417	648	2,900
2,750	-0,88065	658	2,903
2,753	-0,88723	667	2,906
2,756	-0,89390	677	2,909
2,759	-0,90067	688	2,912
2,762	-0,90755	697	2,915
2,765	-0,91452	709	2,918
2,768	-0,92161	719	2,921
2,771	-0,92880	731	2,924
2,774	-0,93611	741	2,927
2,777	-0,94352	755	2,930
2,780	-0,95107	765	2,933
2,783	-0,95872	777	2,936
2,786	-0,96649	791	2,939
2,789	-0,97440	803	2,942
2,792	-0,98243	818	2,945
2,795	-0,99061	832	2,948
2,798	-0,99893	85	2,951
2,801	-1,0074	86	2,954
2,804	-1,0160	87	2,957
2,807	-1,0247	89	2,960
2,810	-1,0336	90	2,963
2,813	-1,0426	92	2,966
2,816	-1,0518	94	2,969
2,819	-1,0612	96	2,972
2,822	-1,0708	97	2,975
2,825	-1,0805	99	2,978
2,828	-1,0904	101	2,981
2,831	-1,1005	102	2,984
2,834	-1,1107	105	2,987
2,837	-1,1212		2,990

Продолжение

x	$\frac{\operatorname{ctg} x}{x}$	x	$\frac{\operatorname{ctg} x}{x}$
2,993	-2,2319	425	6,2093 5451
2,996	-2,2763	444	5,7453 4640
2,999	-2,3226	463	5,3446 4007
3,000	-2,3384	158	4,9944 3502
3,004	-2,4041	657	4,6871 3073
3,008	-2,4737	696	4,4145 2726
3,012	-2,5476	739	4,1712 2433
3,016	-2,6260	784	3,9526 2186
3,020	-2,7097	837	3,7556 1970
3,024	-2,7991	894	3,5763 1793
3,028	-2,8949	958	3,4132 1631
3,032	-2,9975	1026	3,2635 1497
3,036	-3,1077	1102	3,1262 1373
3,040	-3,2269	1192	2,9996 1266
3,044	-3,3556	1287	2,8824 1172
3,048	-3,4951	1395	2,7739 1085
3,052	-3,6475	1524	2,6727 1012
3,056	-3,8138	1663	2,5785 942
3,060	-3,9964	1826	2,4904 881
3,064	-3,1980	2016	2,4078 826
3,068	-4,4208	2228	2,3303 775
3,072	-4,6697	2439	2,2574 729
3,076	-4,9489	2792	2,1886 688
3,080	-5,2650	3161	2,1238 648
3,084	-5,6240	3590	2,0625 613
3,088	-6,0364	4124	2,0044 581
3,092	-6,5164	4800	1,9493 551
3,096	-7,0790	5626	1,8969 524
3,100	-7,7514	6724	1,8472 497
3,104	-8,5667	8153	1,7998 474
3,108	-9,5734	1,0067	1,7547 451
3,112	-10,8549	1,2815	1,7116 431
3,116	-12,537	1,6820	1,6704 412
3,120	-14,842	2,3050	1,6309 395
3,124	-18,195	3,3530	1,5932 377
3,128	-23,522	—	1,5571 361
3,132	-33,292	—	1,5224 347
3,136	-57,043	—	1,4892 332
3,140	-200,296	—	1,4572 320
3,144	-131,978	—	1,4265 307
3,148	49,556	—	1,3969 296
3,152	30,475	—	1,3684 285
3,156	21,986	—	1,3409 275
3,160	17,186	3,0860	1,3144 265
3,164	14,100	2,1480	1,2889 255
3,168	11,952	1,5860	1,2643 246
3,172	10,366	1,2190	1,2405 238
3,176	9,1475	9644	1,2174 231
3,180	8,1831	7807	1,1951 223
3,184	7,4024	6480	1,1735 216
3,188	6,7544	—	1,1526 209

x	$\frac{c_1 g_x}{x}$	x	x	$\frac{c_2 g_x}{x}$
3,396	1,1324	202	3,600	0,56291 635
3,400	1,1127	197	3,604	0,55667 624
3,404	1,0937	190	3,608	0,55052 615
3,408	1,0752	185	3,612	0,54447 605
3,412	1,0573	179	3,616	0,53853 594
3,416	1,0399	174	3,620	0,53268 575
3,420	1,0230	169	3,624	0,52693 566
3,424	1,0065	165	3,628	0,52127 558
3,428	0,99063	160	3,632	0,51569 549
3,432	0,97498	155	3,636	0,51020 541
3,436	0,95983	1515	3,640	0,50479 532
3,440	0,94507	1476	3,644	0,49947 524
3,444	0,93071	1436	3,648	0,49423 516
3,448	0,91670	1401	3,652	0,48907 509
3,452	0,90307	1363	3,656	0,48398 502
3,456	0,88979	1328	3,660	0,47896 494
3,460	0,87683	1296	3,664	0,47402 486
3,464	0,86416	1267	3,668	0,46916 479
3,468	0,85181	1235	3,672	0,46437 473
3,472	0,83975	1206	3,676	0,45964 467
3,476	0,82797	1178	3,680	0,45497 460
3,480	0,81646	1151	3,684	0,45037 453
3,484	0,80523	1097	3,688	0,44584 447
3,488	0,79426	1074	3,692	0,44137 441
3,492	0,78352	1049	3,696	0,43262 434
3,496	0,77303	1027	3,700	0,42833 429
3,500	0,76276	1005	3,704	0,42410 423
3,504	0,75271	984	3,708	0,41992 418
3,508	0,74287	965	3,712	0,41580 412
3,512	0,73322	943	3,716	0,41173 407
3,516	0,72379	922	3,720	0,40772 401
3,520	0,71457	905	3,724	0,40376 396
3,524	0,70552	887	3,728	0,39985 391
3,528	0,69665	868	3,732	0,39599 386
3,532	0,68797	851	3,736	0,39217 382
3,536	0,67946	834	3,740	0,38840 377
3,540	0,67112	818	3,744	0,38468 372
3,544	0,66294	803	3,748	0,38100 368
3,548	0,65491	788	3,752	0,37737 363
3,552	0,64703	773	3,756	0,37379 358
3,556	0,63930	759	3,760	0,37025 354
3,560	0,63171	745	3,764	0,36675 350
3,564	0,62426	730	3,768	0,36329 346
3,568	0,61696	718	3,772	0,35988 341
3,572	0,60978	706	3,776	0,35651 337
3,576	0,60272	693	3,784	0,35318 333
3,580	0,59579	681	3,788	0,34988 330
3,584	0,58898	669	3,792	0,34661 327
3,588	0,58229	656	3,796	0,34338 323
3,592	0,57573	647	3,800	0,34019 319
3,596	0,56926			

Продолжение

x	$\frac{\operatorname{ctg} x}{x}$	x	$\frac{\operatorname{ctg} x}{x}$
3,804	0,33704	315	4,010
3,808	0,33392	312	4,015
3,812	0,33084	308	4,020
3,816	0,32779	305	4,025
3,820	0,32478	301	4,030
3,824	0,32180	298	4,035
3,828	0,31885	295	4,040
3,832	0,31593	292	4,045
3,836	0,31304	289	4,050
3,840	0,31018	286	4,055
3,844	0,30735	283	4,060
3,848	0,30455	280	4,065
3,852	0,30178	277	4,070
3,856	0,29904	274	4,075
3,860	0,29633	271	4,080
3,864	0,29365	268	4,085
3,868	0,29099	266	4,090
3,872	0,28836	263	4,095
3,876	0,28575	261	4,100
3,880	0,28317	258	4,105
3,884	0,28061	256	4,110
3,888	0,27808	253	4,115
3,892	0,27558	250	4,120
3,896	0,27310	248	4,125
3,900	0,27064	246	4,130
3,904	0,26821	243	4,135
3,908	0,26580	241	4,140
3,912	0,26341	239	4,145
3,916	0,26104	237	4,150
3,920	0,25869	235	4,155
3,924	0,25637	232	4,160
3,928	0,25407	228	4,165
3,932	0,25179	226	4,170
3,936	0,24953	224	4,175
3,940	0,24729	222	4,180
3,944	0,24507	220	4,185
3,948	0,24287	218	4,190
3,952	0,24069	216	4,195
3,956	0,23853	214	4,200
3,960	0,23639	213	4,205
3,964	0,23426	211	4,210
3,968	0,23215	209	4,215
3,972	0,23006	207	4,220
3,976	0,22799	205	4,225
3,980	0,22594	204	4,230
3,984	0,22390	202	4,235
3,988	0,22188	200	4,240
3,992	0,21988	199	4,245
3,996	0,21789	197	4,250
4,000	0,21592	244	4,255
4,005	0,21348		4,260
			0,11408

x	$\operatorname{ctg} x$	x	$\operatorname{ctg} x$		
x	x	x	x		
4,265	0,11250	158	4,520	0,04310	119
4,270	0,11093	157	4,525	0,04190	120
4,275	0,10937	156	4,530	0,04071	119
4,280	0,10783	154	4,535	0,03953	118
4,285	0,10629	153	4,540	0,03835	117
4,290	0,10476	152	4,545	0,03718	117
4,295	0,10324	151	4,550	0,03601	117
4,300	0,10173	150	4,555	0,03368	116
4,305	0,10023	149	4,560	0,03252	116
4,310	0,09874	147	4,570	0,03137	115
4,315	0,09727	147	4,575	0,03022	115
4,320	0,09580	146	4,580	0,02907	114
4,325	0,09434	146	4,585	0,02793	113
4,330	0,09288	144	4,590	0,02680	114
4,335	0,09144	144	4,595	0,02566	114
4,340	0,09000	143	4,600	0,02453	113
4,345	0,08857	142	4,605	0,02341	112
4,350	0,08715	140	4,610	0,02229	112
4,355	0,08575	140	4,615	0,02117	112
4,360	0,08435	140	4,620	0,02005	111
4,365	0,08295	139	4,625	0,01894	111
4,370	0,08156	138	4,630	0,01783	110
4,375	0,08018	137	4,635	0,01673	110
4,380	0,07881	136	4,640	0,01563	110
4,385	0,07745	136	4,645	0,01453	110
4,390	0,07609	135	4,650	0,01343	109
4,395	0,07474	134	4,655	0,01234	109
4,400	0,07340	134	4,660	0,01125	109
4,405	0,07206	133	4,665	0,01016	108
4,410	0,07073	131	4,670	0,00908	108
4,415	0,06942	132	4,675	0,00800	108
4,420	0,06810	131	4,680	0,00692	107
4,425	0,06679	130	4,685	0,00585	108
4,430	0,06549	129	4,690	0,00477	107
4,435	0,06420	129	4,695	0,00370	106
4,440	0,06291	128	4,700	0,00264	107
4,445	0,06163	128	4,705	0,00157	106
4,450	0,06035	127	4,710	0,00051	106
4,455	0,05908	126	4,715	-0,00055	106
4,460	0,05782	126	4,720	-0,00161	106
4,465	0,05656	125	4,725	-0,00267	105
4,470	0,05531	124	4,730	-0,00372	105
4,475	0,05407	124	4,735	-0,00477	106
4,480	0,05283	124	4,740	-0,00583	104
4,485	0,05159	123	4,745	-0,00687	105
4,490	0,05036	123	4,750	-0,00792	105
4,495	0,04914	122	4,755	-0,00897	104
4,500	0,04792	122	4,760	-0,01001	104
4,505	0,04671	121	4,765	-0,01105	104
4,510	0,04550	121	4,770	-0,01209	104
4,515	0,04429				

Продолжение

$\frac{x}{x}$	$\frac{\operatorname{ctg} x}{x}$	x	$\frac{\operatorname{ctg} x}{x}$	
4,775	-0,01313	104	-0,03671	102
4,780	-0,01417	103	-0,03773	102
4,785	-0,01520	104	-0,03874	101
4,790	-0,01624	103	-0,03976	102
4,795	-0,01727	103	-0,04078	102
4,800	-0,01830	103	-0,04180	102
4,805	-0,01933	103	-0,04281	101
4,810	-0,02036	102	-0,04383	102
4,815	-0,02138	103	-0,04485	102
4,820	-0,02241	103	-0,04587	102
4,825	-0,02344	102	-0,04689	102
4,830	-0,02446	102	-0,04791	102
4,835	-0,02549	103	-0,04893	102
4,840	-0,02651	102	-0,04995	102
4,845	-0,02753	102	-0,05097	102
4,850	-0,02855	102	-0,05199	102
4,855	-0,02957	102	-0,05301	102
4,860	-0,03060	103	-0,05403	102
4,865	-0,03161	101	-0,05506	103
4,870	-0,03263	102	-0,05608	102
4,875	-0,03365	102	-0,05711	103
4,880	-0,03467	102	-0,05813	102
4,885	-0,03569	102	-0,05916	103
		5,000		

Редактор А. И. Ломина

Сдано в наб. 10/VII 1972 г.

Подп. в печ. 13/X 1972 г.

3,25 п. л.

Тираж 12000

Издательство стандартов. Москва. Д-32. Новопресненский пер. 3
Тип. «Московский печатник». Москва. Лялин пер., 6. Зак. 1149